



ИПМ им.М.В.Келдыша РАН • [Электронная библиотека](#)

[Препринты ИПМ](#) • [Препринт № 68 за 2011 г.](#)



[Гавриков М.Б., Таюрский А.А.](#)

Нелинейное поглощение  
альфвеновской волны в  
диссипативной плазме

**Рекомендуемая форма библиографической ссылки:** Гавриков М.Б., Таюрский А.А. Нелинейное поглощение альфвеновской волны в диссипативной плазме // Препринты ИПМ им. М.В.Келдыша. 2011. № 68. 28 с. URL: <http://library.keldysh.ru/preprint.asp?id=2011-68>

УЧРЕЖДЕНИЕ РОССИЙСКОЙ АКАДЕМИИ НАУК  
Институт прикладной математики  
имени М.В.Келдыша РАН

М.Б. Гавриков, А.А. Таюрский

**Нелинейное поглощение альфвеновской волны в  
диссипативной плазме**

Москва, 2011

М.Б. Гавриков, А.А. Таюрский

Нелинейное поглощение альфвеновской волны в диссипативной плазме

Аннотация

Предложен метод исследования поглощения альфвеновской волны, бегущей в однородной неизотермической плазме вдоль постоянного магнитного поля, и релаксации температур электронов и ионов в волне. Поглощение А-волны плазмой обусловлено диссипативными эффектами – магнитной и гидродинамическими вязкостями электронов и ионов и их упругим взаимодействием. Метод основан на точном решении уравнений двухжидкостной электромагнитной гидродинамики плазмы, которые на А-волне, как показано в работе, редуцируются к нелинейной системе обыкновенных дифференциальных уравнений.

Работа поддержана РФФИ, грант № 09-01-00181

M.B. Gavrikov, A.A. Tayurskiy

The nonlinear absorption of Alfvén wave in dissipative plasma

Abstract

We propose a method for studying absorption of Alfvén waves traveling in a homogeneous nonisothermal plasma along a constant magnetic field, and relaxation of electron and ion temperatures in the A-wave. The absorption of a A-wave by the plasma is arose due to dissipative effects - magnetic and hydrodynamic viscosities of electrons and ions and their elastic interaction. The method is based on the exact solution of two-fluid electromagnetic hydrodynamics of the plasma, which for A-wave, as shown in the work, are reduced to a nonlinear system of ordinary differential equations.

The work is supported by RFFI, grant № 09-01-00181

Хорошо известно явление затухания альфвеновских волн вследствие механизма бездиссипативного обмена энергией между заряженными частицами и электромагнитной волной (черенковское поглощение) [1]. В этой работе на примере альфвеновской волны рассмотрено преобразование различных видов энергии плазмы друг в друга, обусловленное диссипативными процессами, которые в итоге преобразуют энергию собственного электромагнитного поля и кинетическую энергию плазмы в тепловые виды энергии. С этой трансформацией тесно связан механизм релаксации температур электронов и ионов, который определяется прежде всего их теплопроводностью и упругим взаимодействием.

Перечисленные выше вопросы рассмотрены в работе на важном примере затухания плоских альфвеновских волн, бегущих в однородной плазме вдоль невозмущённого магнитного поля и являющихся точным решением уравнений плазмодинамики в отсутствие диссипаций. Это поперечные волны и их затухание определяется, в том числе, и длиной волны  $\ell$ . Оказывается, затухание носит временной характер, при котором пространственная синусоидальная структура альфвеновской волны остаётся постоянной, а меняются во времени только амплитуды волн. При этом затухание не зависит от теплопроводностей электронов и ионов и их вторых гидродинамических вязкостей. Для (комплексных) амплитуд параметров плазмы в альфвеновской волне получена система нелинейных обыкновенных дифференциальных уравнений, исследование которой и приводит к важным результатам. Этот анализ аналогичен исследованию в линейном приближении устойчивости разностных схем и решений эволюционных уравнений в частных производных, но более сложен, поскольку система ОДУ на комплексные амплитуды, в отличие от указанных случаев, нелинейная.

Исследование показало, что в отсутствие диссипаций происходит периодическое во времени преобразование магнитной энергии альфвеновской волны в кинетическую и обратно, интенсивность и частота которого определяются длиной волны и начальными условиями. В частности, при определённых начальных условиях преобразование магнитной и кинетической энергий друг в друга не имеет места.

При учёте магнитной вязкости происходит быстрая трансформация магнитной и (почти полностью) кинетической энергий в тепловую энергию электронов и ионов, которая резко ускоряется при дополнительном учёте гидродинамических вязкостей электронов и ионов. Скорость преобразования нетепловых видов энергии в тепловые существенно возрастает при уменьшении длины волны, и при  $\ell \ll \ell_c = c/\omega_p$  это преобразование происходит за время  $\sim (\omega_{ci} \cdot \omega_{ce})^{-1/2}$  ( $\omega_p$  – плазменная частота,  $\omega_{ci}$ ,  $\omega_{ce}$  – циклотронные частоты электронов и ионов,  $\ell_c$  – скин-длина). На втором этапе происходит значительно более длительная,  $\sim 10^4 (\omega_{ci} \cdot \omega_{ce})^{-1/2}$ , релаксация температур электронов и ионов, при которой в тепловую энергию плазменных компонент переходят остатки кинетической энергии, а магнитная энергия не меняется и имеет фоновое значение.

Проведённый анализ основан на двухжидкостной гидродинамической модели плазмы [2] и на общепринятых формулах для коэффициентов переноса [3-8].

## 1. Исходные уравнения

Рассмотрим полностью ионизованную двухжидкостную нерелятивистскую плазму. В гидродинамическом приближении с учётом основных диссипаций её динамика подчиняется уравнениям [3]:

$$\frac{\partial \rho_{\pm}}{\partial t} + \operatorname{div} \rho_{\pm} \mathbf{v}_{\pm} = 0 \quad (1.1)$$

$$\rho_{\pm} \frac{d\mathbf{v}_{\pm}}{dt} = -\nabla p_{\pm} \pm e_{\pm} n_{\pm} (\mathbf{E} + \frac{1}{c} [\mathbf{v}, \mathbf{H}]) + \operatorname{Div} \Pi_{\pm} - \mathbf{R}_{\pm} \quad (1.2)$$

$$\rho_{\pm} T_{\pm} \frac{dS_{\pm}}{dt} = -\operatorname{div} \mathbf{q}_{\pm} + \operatorname{tr}(\Pi_{\pm} D_{\pm}) \pm \frac{m_{\mp}}{m_{\Sigma}} \langle \mathbf{R}_{\pm}, \mathbf{v}_{+} - \mathbf{v}_{-} \rangle + Q_{\pm} \quad (1.3)$$

$$T_{\pm} dS_{\pm} = d\varepsilon_{\pm} + p_{\pm} d\left(\frac{1}{\rho_{\pm}}\right) \quad (1.4)$$

$$\varepsilon_{\pm} = \varepsilon_{\pm}(\rho_{\pm}, T_{\pm}), \quad p_{\pm} = p_{\pm}(\rho_{\pm}, T_{\pm}), \quad \frac{d}{dt} = \frac{\partial}{\partial t} + \mathbf{v}_{\pm} \cdot \nabla \quad (1.5)$$

где  $\rho_{\pm} = m_{\pm} n_{\pm}$ ,  $m_{\Sigma} = m_{+} + m_{-}$ , а индексы  $\pm$  относятся к параметрам электронов и ионов. Для диссипативных членов  $\Pi_{\pm}$ ,  $\mathbf{R}_{\pm}$ ,  $\mathbf{q}_{\pm}$ ,  $Q_{\pm}$  примем следующие часто используемые упрощённые выражения:

- $D_{\pm} = \operatorname{def} \mathbf{v}_{\pm} = \|D_{\alpha\beta}^{\pm}\|$ ,  $D_{\alpha\beta}^{\pm} = \frac{1}{2} \left( \frac{\partial v_{\pm}^{\alpha}}{\partial x_{\beta}} + \frac{\partial v_{\pm}^{\beta}}{\partial x_{\alpha}} \right)$  – тензор деформаций
- $\Pi_{\pm} = 2\mu_{\pm} D_{\pm} + (v_{\pm} - \frac{2}{3}\mu_{\pm}) \operatorname{tr} D_{\pm} I_3$  – тензор вязких напряжений
- $\mathbf{R}_{\pm} = \pm \frac{e_{+} e_{-} n_{+} n_{-}}{\sigma} (\mathbf{v}_{+} - \mathbf{v}_{-})$  – объёмная сила трения между компонентами
- $Q_{\pm} = \pm b(T_{-} - T_{+})$  – тепло, передаваемое компонентами плазмы друг другу при упругих столкновениях
- $\mathbf{q}_{\pm} = -\chi_{\pm} \nabla T_{\pm}$  – закон Фурье для потока тепла в каждой плазменной компоненте.

Гидродинамические вязкости электронов и ионов  $\mu_{\pm}$ ,  $\nu_{\pm}$  являются функциями от  $T_{+}$ ,  $T_{-}$ , проводимость плазмы  $\sigma$  и коэффициент теплообмена  $b$  суть функции от электронной температуры  $T_{-}$  (см. ниже). Изложенный ниже подход легко обобщается для более сложных выражений  $\Pi_{\pm}$ ,  $\mathbf{R}_{\pm}$ ,  $\mathbf{q}_{\pm}$ ,  $Q_{\pm}$ , учитывающих термосилу и анизотропию замагниченной плазмы [3], а также при учёте в уравнениях (1.1) – (1.5) анизотропии давлений электронов и ионов [9].

Система (1.1) – (1.5) замыкается уравнениями Максвелла для квазистационарного магнитного поля:

$$\operatorname{rot}\mathbf{H} = \frac{4\pi}{c}\mathbf{j}, \quad \operatorname{div}\mathbf{H} = 0, \quad \mathbf{j} = e_+n_+\mathbf{v}_+ - e_-n_-\mathbf{v}_- \quad (1.6)$$

$$\frac{1}{c}\frac{\partial\mathbf{H}}{\partial t} + \operatorname{rot}\mathbf{E} = 0, \quad e_+n_+ - e_-n_- = 0 \quad (1.7)$$

и выражениями для коэффициентов переноса  $\mu_{\pm}$ ,  $\nu_{\pm}$ ,  $\sigma$ ,  $b$ ,  $\chi_{\pm}$ , из которых нам понадобятся только  $\mu_{\pm}$ ,  $\sigma$ ,  $b$ :

$$\mu_+ = 0.96 \cdot \frac{3m_i^{1/2}T_+^{5/2}}{4\pi^{1/2}e^4Z^4L}, \quad \mu_- = 0.733 \cdot \frac{3m_e^{1/2}T_-^{5/2}}{4(2\pi)^{1/2}e^4ZL} \quad (1.8)$$

$$\sigma = \frac{3T_-^{3/2}}{4(2\pi m_e)^{1/2}e^2ZL \cdot 0.5129}, \quad b = \frac{5m_e^{1/2}e^4Z^3\rho^2L}{m_i^3k^{1/2}T_-^{3/2}} \quad (1.9)$$

где  $k$  – постоянная Больцмана,  $m_i = m_+$ ,  $m_e = m_-$ ,  $e = e_-$  – заряд электрона,  $Z$  – кратность заряда иона ( $e_+ = Ze$ ),  $L$  – кулоновский логарифм (ниже  $L = 15$ ),  $\rho = \rho_+ + \rho_-$ , температуры  $T_{\pm}$  измеряются в  $^{\circ}K$ . Формулы для  $\mu_{\pm}$ ,  $\sigma$  взяты из [3, 4], для  $b$  – из [4]. Близкие, отличающиеся лишь несущественными коэффициентами формулы для  $\mu_{\pm}$  содержатся в [5, 6], для  $b$  – в [7]. Формулы для  $\nu_{\pm}$  выписаны в [3], для  $\chi_{\pm}$  – в [2, 4], см. также [3]. Формулы для коэффициентов переноса имеют теоретический характер и время от времени корректируются. Так в [8] обосновано уменьшение электронной вязкости  $\mu_-$  на два порядка. Ниже этот вопрос будет рассмотрен дополнительно.

## 2. Уравнения электромагнитной гидродинамики плазмы (ЭМГД)

На первый взгляд, в системе (1.1) – (1.7) отсутствует уравнение для электрического поля  $\mathbf{E}$ . Однако его нетрудно получить, если учесть зависимость некоторых неизвестных функций в (1.1) – (1.7), а именно – скорости  $\mathbf{v}_+$ ,  $\mathbf{v}_-$  связаны законом Ампера (1.6), а плотности  $\rho_+$ ,  $\rho_-$  – условием квазинейтральности (1.7). Исключив зависимые неизвестные, придём к одножидкостной форме системы (1.1) – (1.7), которая содержит и уравнение для  $\mathbf{E}$ . В задачах плазмостатики удобно в качестве независимых переменных взять  $\mathbf{v}_+$ ,  $\rho_+$ , в задачах электронной гидродинамики –  $\mathbf{v}_-$ ,  $\rho_-$ . В общем случае в качестве независимых неизвестных возьмём массовую скорость и суммарную плотность плазмы:

$$\rho = \rho_+ + \rho_-, \quad \mathbf{U} = (\rho_+\mathbf{v}_+ + \rho_-\mathbf{v}_-)/\rho \quad (2.1)$$

Тогда  $\mathbf{v}_{\pm}$ ,  $\rho_{\pm}$  выражаются через  $\rho$ ,  $\mathbf{U}$  по простым формулам:

$$\mathbf{v}_{\pm} = \mathbf{U} \pm \frac{\lambda_{\pm}}{\rho}\mathbf{j}, \quad \rho_{\pm} = \frac{\lambda_{\pm}}{\lambda_{\Sigma}}\rho, \quad \lambda_{\pm} = \frac{m_{\pm}}{e_{\pm}}, \quad \lambda_{\Sigma} = \lambda_+ + \lambda_- \quad (2.2)$$

Переходя в системе (1.1) – (1.7) к переменным  $\rho$ ,  $\mathbf{U}$ , получим математически равносильную ей систему уравнений электромагнитной гидродинамики (ЭМГД):

$$\frac{\partial \rho}{\partial t} + \operatorname{div} \rho \mathbf{U} = 0 \quad (2.3)$$

$$\frac{\partial \rho \mathbf{U}}{\partial t} + \operatorname{Div} \Pi = \operatorname{Div} \mathbf{P} \quad (2.4)$$

$$\begin{aligned} \frac{\partial \rho S_{\pm}}{\partial t} + \operatorname{div} \rho S_{\pm} \mathbf{U} \pm \lambda_{\mp} \operatorname{div} (S_{\pm} \mathbf{j}) = \\ = \frac{\lambda_{\Sigma}}{\lambda_{\pm} T_{\pm}} \{ \operatorname{div} (\chi_{\pm} \nabla T_{\pm}) + \operatorname{tr} (\Pi_{\pm} \mathbf{D}_{\pm}) + \frac{m_{\mp} j^2}{m_{\Sigma} \sigma} \pm b(T_{-} - T_{+}) \} \end{aligned} \quad (2.5)$$

$$\mathbf{E} + \frac{c^2 \lambda_{+} \lambda_{-}}{4\pi \rho} \operatorname{rot} \operatorname{rot} \mathbf{E} = \frac{\mathbf{j}}{\sigma} - \frac{1}{c} [\mathbf{U}, \mathbf{H}] + \frac{1}{\rho} \operatorname{Div} \mathbf{W} \quad (2.6)$$

где тензоры плотности потока импульса  $\Pi$ , вязких напряжений  $\mathbf{P}$  и тензор “холловских слагаемых”  $\mathbf{W}$  имеют вид:

$$\begin{aligned} \Pi = \Pi^h + \Pi^p + \Pi^c, \quad \mathbf{P} = \Pi_*^c + \Pi^U \\ \mathbf{W} = (\lambda_{-} - \lambda_{+}) (\Pi^p + \Pi^c) + (\lambda_{-} p_{+} - \lambda_{+} p_{-}) \mathbf{I}_3 + \lambda_{+} \lambda_{-} (\mathbf{j} \mathbf{U} + \mathbf{U} \mathbf{j}) - \Pi_*^U - \Pi^c \end{aligned} \quad (2.7)$$

$$\Pi^h = \rho \mathbf{U} \mathbf{U} + p_{\Sigma} \mathbf{I}_3, \quad \Pi^p = \frac{H^2}{8\pi} \mathbf{I}_3 - \frac{\mathbf{H} \mathbf{H}}{4\pi}, \quad \Pi^c = \lambda_{+} \lambda_{-} \frac{\mathbf{j} \mathbf{j}}{\rho}$$

Наконец, тензоры  $\Pi^c$ ,  $\Pi_*^c$ ,  $\Pi^U$ ,  $\Pi_*^U$  вычисляются по формулам:

$$\begin{aligned} \Pi^U = 2\mu_{\Sigma} \mathbf{D}^U + (v_{\Sigma} - \frac{2}{3} \mu_{\Sigma}) \operatorname{tr} \mathbf{D}^U \mathbf{I}_3, \quad \Pi^c = 2\mu^* \mathbf{D}^c + (v^* - \frac{2}{3} \mu^*) \operatorname{tr} \mathbf{D}^c \mathbf{I}_3 \\ \Pi_*^U = 2\mu_* \mathbf{D}^U + (v_* - \frac{2}{3} \mu_*) \operatorname{tr} \mathbf{D}^U \mathbf{I}_3, \quad \Pi_*^c = 2\mu_* \mathbf{D}^c + (v_* - \frac{2}{3} \mu_*) \operatorname{tr} \mathbf{D}^c \mathbf{I}_3 \end{aligned} \quad (2.8)$$

где  $\mathbf{D}^U = \operatorname{def} \mathbf{U}$ ,  $\mathbf{D}^c = \operatorname{def} (\mathbf{j} / \rho)$  – тензоры деформаций,  $p_{\Sigma} = p_{+} + p_{-}$ ,  $\mu_{\Sigma} = \mu_{+} + \mu_{-}$ ,  $v_{\Sigma} = v_{+} + v_{-}$ ,  $\mu_* = \lambda_{-} \mu_{+} - \lambda_{+} \mu_{-}$ ,  $v_* = \lambda_{-} v_{+} - \lambda_{+} v_{-}$ ,  $\mu^* = \lambda_{-}^2 \mu_{+} + \lambda_{+}^2 \mu_{-}$ ,  $v^* = \lambda_{-}^2 v_{+} + \lambda_{+}^2 v_{-}$ .

Итак, система (2.3) – (2.8), (1.4) – (1.7) математически равносильна системе (1.1) – (1.7). Она является одножидкостной и в то же время полностью симметричным образом учитывает инерции электронов и ионов. Уравнение на  $\mathbf{E}$  – это обобщённый закон Ома (2.6). Уравнения (2.5) на плотности энтропии  $S_{\pm}$  можно заменить уравнениями относительно  $T_{\pm}$ . Наиболее простые формулы получатся, если считать (что ниже предполагается) электроны и ионы идеальными политропными газами с общим показателем адиабаты  $\gamma$ . Тогда пара уравнений (2.5) равносильна уравнениям:

$$\begin{aligned} \frac{\partial T_{\pm}}{\partial t} + \mathbf{U} \cdot T_{\pm} + T_{\pm} (\gamma - 1) \operatorname{div} \mathbf{U} \pm \lambda_{\mp} \rho^{\gamma-2} \mathbf{j} \cdot \nabla \left( \frac{T_{\pm}}{\rho^{\gamma-1}} \right) = \\ = \frac{\lambda e_{\pm} (\gamma - 1)}{k \rho} \{ \operatorname{div} (\chi_{\pm} \nabla T_{\pm}) + \operatorname{tr} (\Pi_{\pm} \mathbf{D}_{\pm}) + \frac{m_{\mp} j^2}{m_{\Sigma} \sigma} \pm b(T_{-} - T_{+}) \} \end{aligned} \quad (2.9)$$

Наконец, в общем случае на решении ЭМГД-уравнений выполнен закон сохранения полной энергии:

$$\frac{\partial}{\partial t} \left[ \rho \left( \frac{U^2}{2} + \varepsilon + \frac{\lambda_+ \lambda_- j^2}{2\rho^2} \right) + \frac{H^2}{8\pi} \right] + \operatorname{div} \left[ \rho \mathbf{U} \left( \frac{U^2}{2} + \varepsilon + \frac{p_\Sigma}{\rho} + \frac{\lambda_+ \lambda_- j^2}{2\rho^2} \right) + \frac{c}{4\pi} [\mathbf{E}, \mathbf{H}] + A \mathbf{j} \right] = \operatorname{div} \{ \chi_+ \nabla T_+ + \chi_- \nabla T_- + \Pi_+ \mathbf{v}_+ + \Pi_- \mathbf{v}_- \} \quad (2.10)$$

где  $\varepsilon = (\lambda_+ \varepsilon_+ + \lambda_- \varepsilon_-) / \lambda_\Sigma$  – объёмная плотность внутренней энергии плазмы,

$$A = \lambda_+ \lambda_- \frac{\langle \mathbf{U}, \mathbf{j} \rangle}{\rho} + \lambda_+ \lambda_- \frac{(\lambda_- - \lambda_+) j^2}{2\rho^2} + \frac{\lambda_+ \lambda_-}{\lambda_\Sigma} (\varepsilon_+ - \varepsilon_-) + \frac{\lambda_- p_+ - \lambda_+ p_-}{\rho}$$

### 3. Альфвеновские волны в ЭМГД

Рассмотрим плоские ( $\partial/\partial y = \partial/\partial z = 0$ ) течения двухжидкостной однородной ( $\rho = \text{const}$ ) плазмы, когда электроны и ионы двигаются в плоскостях, ортогональных оси  $x$  и не двигаются вдоль самой оси ( $U_x = 0$ ). Для таких течений  $H_x = \text{const}$  и ЭМГД-система (2.3) – (2.8) с учётом уравнений (2.9) в компактной форме записывается с помощью комплексных обозначений  $U_\perp = U_y + iU_z$ ,  $H_\perp = H_y + iH_z$ ,  $E_\perp = E_y + iE_z$ ,  $j_\perp = j_y + ij_z$ :

$$\frac{\partial U_\perp}{\partial t} = \frac{H_x}{4\pi\rho} \frac{\partial H_\perp}{\partial x} + \frac{ic}{4\pi\rho} \frac{\partial}{\partial x} \left( \frac{\mu_*}{\rho} \frac{\partial^2 H_\perp}{\partial x^2} \right) + \frac{1}{\rho} \frac{\partial}{\partial x} \left( \mu_\Sigma \frac{\partial U_\perp}{\partial x} \right) \quad (3.1)$$

$$\frac{1}{c} \frac{\partial H_\perp}{\partial t} = -i \frac{\partial E_\perp}{\partial x} \quad (3.2)$$

$$E_\perp - \left( \frac{c}{\omega_p} \right)^2 \frac{\partial^2 E_\perp}{\partial x^2} = \frac{iH_x}{c} U_\perp + \left( \frac{ic}{4\pi\sigma} + \frac{\Lambda v_A}{\omega_p} \right) \frac{\partial H_\perp}{\partial x} - \quad (3.3)$$

$$- \frac{1}{\rho} \left[ \frac{\partial}{\partial x} \left( \mu_* \frac{\partial U_\perp}{\partial x} \right) + \frac{\partial}{\partial x} \left( \frac{ic\mu^*}{4\pi\rho} \frac{\partial^2 H_\perp}{\partial x^2} \right) \right]$$

$$\frac{\partial T_\pm}{\partial t} = \frac{\lambda e_\pm (\gamma - 1)}{k\rho} \{ \operatorname{div}(\chi_\pm \nabla T_\pm) + \operatorname{tr}(\Pi_\pm \mathbf{D}_\pm) + \frac{m_\mp |j_\perp|^2}{m_\Sigma \sigma} \pm b(T_- - T_+) \} \quad (3.4)$$

где  $i$  – мнимая единица,  $j_\perp = \frac{ic}{4\pi} \partial H_\perp / \partial x$ ,  $j_x = 0$ ,  $\Pi_\pm = 2\mu_\pm \mathbf{D}_\pm$ ,

$\Lambda = \sqrt{\lambda_+/\lambda_-} - \sqrt{\lambda_-/\lambda_+}$ ,  $v_A = H_x / \sqrt{4\pi\rho}$  – альфвеновская скорость,

$\omega_p = \sqrt{4\pi\rho/(\lambda_+ \lambda_-)}$  – плазменная частота,  $\sigma = RT_-^{3/2}$ ,  $\mu_\pm = T_\pm^{5/2}/R_\pm$ ,  $b = R_0/T_-^{3/2}$ .

Из формул (1.8), (1.9) следуют выражения для констант  $R_+$ ,  $R$ ,  $R_0$ :

$$R_+ = \frac{4\pi^{1/2} e^4 Z^4 L}{0.96 \cdot 3m_i^{1/2} k^{5/2}}, \quad R_- = \frac{4(2\pi)^{1/2} e^4 ZL}{0.733 \cdot 3m_e^{1/2} k^{5/2}} \quad (3.5)$$

$$R = \frac{3k^{3/2}}{4(2\pi m_e)^{1/2} e^2 ZL \cdot 0.5129}, \quad R_0 = \frac{5m_e^{1/2} e^4 Z^3 L \rho^2}{m_i^3 k^{1/2}}$$

Замкнутая система (3.1) – (3.4) дополняется уравнениями (x-компоненты уравнения импульсов (2.4) и обобщённого закона Ома (2.6)):

$$\frac{\partial}{\partial x} \left( p_{\Sigma} + \frac{|H_{\perp}|^2}{8\pi} \right) = 0 \quad (3.6)$$

$$E_x = -\frac{1}{c} \text{Im}(\bar{U}_{\perp} H_{\perp}) + \frac{1}{\rho} \frac{\partial}{\partial x} (\lambda_{-} p_{+} - \lambda_{+} p_{-}) \quad (3.7)$$

Условие (3.6) является ограничением на решения системы (3.1) – (3.4), которое априори не обязано выполняться, а (3.7) позволяет проверить апостериори условие квазинейтральности  $|\partial E_x / \partial x| \ll en$ .

Как и в классической МГД, система (3.1) – (3.4) в бездиссипативном случае ( $\mu_{\pm} = 0$ ,  $b = 0$ ,  $\chi_{\pm} = 0$ ,  $\sigma = +\infty$ ) имеет точное решение – поперечную синусоидальную волну, называемую ниже альфвеновской:

$$U_{\perp} = u(t)e^{ikx}, H_{\perp} = h(t)e^{ikx}, E_{\perp} = e(t)e^{ikx}, T_{\pm} = \text{const} \quad (3.8)$$

где комплексные функции  $u(t)$ ,  $h(t)$ ,  $e(t)$  подчиняются системе обыкновенных дифференциальных уравнений, которая получается подстановкой (3.8) в (3.1) – (3.4):

$$\begin{aligned} \frac{du}{dt} &= \frac{i\kappa H_x}{4\pi\rho} h, & \frac{1}{c} \frac{dh}{dt} &= \kappa e \\ e \left( 1 + \left( \frac{\kappa c}{\omega_p} \right)^2 \right) &= \frac{iH_x}{c} u + \frac{i\kappa\Lambda v_A}{\omega_p} h \end{aligned}$$

Исключая неизвестную  $e(t)$ , получим линейную систему обыкновенных дифференциальных уравнений с двумя неизвестными и постоянными коэффициентами:

$$\frac{du}{dt} = \frac{i\kappa H_x}{4\pi\rho} h, \quad \frac{dh}{dt} = \frac{iH_x \kappa}{1+r^2} u + \frac{ir}{1+r^2} \kappa\Lambda v_A h, \quad r = \frac{\kappa c}{\omega_p}$$

Исключая из этой системы  $h$ , находим  $u$ :

$$\begin{aligned} \frac{d^2 u}{dt^2} - \frac{ir}{1+r^2} \kappa v_A \Lambda \frac{du}{dt} + \frac{\kappa^2 v_A^2}{1+r^2} u &= 0 \\ u(t) &= C_1 e^{i\omega_+ t} + C_2 e^{i\omega_- t}, \quad C_1, C_2 \in \mathbb{C} \\ \omega_{\pm} &= \frac{\kappa v_A}{2} \left\{ \frac{r\Lambda}{1+r^2} \pm \left[ \frac{r^2 \Lambda^2}{(1+r^2)^2} + \frac{4}{1+r^2} \right]^{1/2} \right\} \end{aligned} \quad (3.9)$$

Отсюда легко выписываются выражения для  $h(t)$ ,  $e(t)$ :

$$\begin{aligned} h(t) &= \frac{(4\pi\rho)^{1/2}}{\kappa v_A} \{ C_1 \omega_+ e^{i\omega_+ t} + C_2 \omega_- e^{i\omega_- t} \} \\ e(t) &= \frac{i}{1+r^2} \left\{ \left( \frac{H_x}{c} + \Lambda \sqrt{\lambda_+ \lambda_-} \omega_+ \right) C_1 e^{i\omega_+ t} + \left( \frac{H_x}{c} + \Lambda \sqrt{\lambda_+ \lambda_-} \omega_- \right) C_2 e^{i\omega_- t} \right\} \end{aligned} \quad (3.10)$$

Подставляя (3.9), (3.10) в (3.8), заключаем, что поперечные колебания (3.8) являются суперпозицией синусоидальных бегущих вдоль магнитного поля

волн с фазовыми скоростями  $-\omega_{\pm}(\kappa)/\kappa$ , зависящими от длины волны  $\ell = 2\pi/\kappa$ . Из (3.9) следует, что волна, бегущая против магнитного поля, имеет большую по абсолютной величине фазовую скорость. В МГД (длинноволновом) пределе  $r \ll 1$  имеем  $\omega_{\pm}(\kappa) \approx \pm \kappa v_A$  и полученное решение переходит в классическую альфвеновскую волну. В коротковолновом пределе  $r \ll 1$  имеем  $\omega_{\pm} \approx \pm \omega_c^{\mp}$  (где  $\omega_c^{\pm} = H_x/(\lambda_{\pm} c)$  – циклотронные частоты) не зависят от  $\kappa$  и значит с уменьшением длины волны фазовые скорости альфвеновских бегущих волн стремятся к нулю с асимптотикой  $\approx \mp \omega_c^{\mp}/\kappa$ ,  $\kappa \rightarrow +\infty$ .

На решении (3.8) условие (3.6) выполнено, т.к.  $p_{\pm} = k\rho_{\pm}T_{\pm}/m_{\pm} = \text{const}$ ,  $|H_{\perp}|^2 = |h(t)|^2$  не зависят от  $x$ . А из (3.7) следует  $E_x = E_x(t)$  и значит  $\text{div}\mathbf{E} = \partial E_x/\partial x \equiv 0$  и тем самым условие квазинейтральности выполнено точно.

#### 4. Преобразование энергии в альфвеновской волне

Рассмотрим преобразование друг в друга различных видов энергии в плазме с объёмной плотностью:

- $\varepsilon_m = \frac{H^2}{8\pi}$  – энергия магнитного поля
- $\varepsilon_{kin}^{\pm} = \frac{\rho_{\pm} v_{\pm}^2}{2}$  – кинетическая энергия электронов и ионов
- $\varepsilon_{\pm} = \frac{k\rho_{\pm}T_{\pm}}{m_{\pm}(\gamma-1)}$  – тепловая энергия электронов и ионов
- $\varepsilon_{kin} = \frac{\rho U^2}{2}$  – кинетическая энергия плазмы, движущейся как единое целое
- $\varepsilon_{el} = \frac{\lambda_+ \lambda_- j^2}{2\rho} = \frac{1}{1 + Z \frac{m_-}{m_+}} \cdot \frac{\rho_- (\mathbf{v}_+ - \mathbf{v}_-)^2}{2}$  – кинетическая энергия относительного движения электронов

Заметим, что  $\varepsilon_{kin}^+ + \varepsilon_{kin}^- = \varepsilon_{kin} + \varepsilon_{el}$ .

Закон сохранения полной энергии (2.10) определяет изменение во времени и пространстве полной энергии плазмы, определяемой объёмной плотностью

$$\varepsilon = \varepsilon_m + \varepsilon_{kin}^+ + \varepsilon_{kin}^- + \varepsilon_+ + \varepsilon_- = \varepsilon_m + \varepsilon_{kin} + \varepsilon_{el} + \varepsilon_+ + \varepsilon_-$$

Рассмотрим, как распределяется энергия по её видам в альфвеновской волне из §3. Для неё:

$$\varepsilon_{\pm} = \text{const}, \varepsilon_m = \frac{|h(t)|^2}{8\pi}, \varepsilon_{kin} = \frac{\rho |u(t)|^2}{2}, \varepsilon_{el} = \frac{r^2}{8\pi} |h(t)|^2$$

являются функциями только времени и из (2.10) следует

$$\varepsilon_m + \varepsilon_{kin} + \varepsilon_{el} = \text{const} \quad (4.1)$$

Значит, полная энергия плазмы в альфвеновской волне постоянна. Анализ распределения полной энергии по её видам показывает, что с течением времени происходит двусторонний обмен кинетической энергии плазмы с энергиями магнитного поля и кинетической энергией относительного движения электронов. Учитывая  $\varepsilon_{el}/\varepsilon_{kin} = r^2$ , достаточно проследить за изменением  $\varepsilon_m$  и  $\varepsilon_{kin}$ . Пусть в (3.9)  $C_1 = R_1 e^{i\varphi}$ ,  $C_2 = R_2 e^{i\psi}$ ,  $|C_1| = R_1$ ,  $|C_2| = R_2$ . Тогда прямой подсчёт по формулам (3.9), (3.10) показывает:

$$\varepsilon_{kin} = \frac{\rho}{2} \{R_1^2 + R_2^2 + 2R_1 R_2 \cos[(\omega_+ - \omega_-)t + \varphi - \psi]\} \quad (4.2)$$

$$\varepsilon_m = \frac{\rho}{2} \left\{ \frac{\omega_+^2 R_1^2 + \omega_-^2 R_2^2}{\kappa^2 v_A^2} - \frac{2R_1 R_2}{1+r^2} \cos[(\omega_+ - \omega_-)t + \varphi - \psi] \right\} \quad (4.3)$$

Из этих формул, с одной стороны, ещё раз вытекает соотношение (4.1). С другой, они показывают, что  $\varepsilon_{kin}$  и  $\varepsilon_m$  совершают в противофазе гармонические колебания с частотой  $\omega_+ - \omega_- = \kappa v_A \left[ \frac{r^2 \Lambda^2}{(1+r^2)^2} + \frac{4}{1+r^2} \right]^{1/2}$  и

амплитудами  $\rho R_1 R_2$ ,  $\rho R_1 R_2 / (1+r^2)$  соответственно вокруг значений  $\rho(R_1^2 + R_2^2)/2$ ,  $(\omega_+^2 R_1^2 + \omega_-^2 R_2^2)\rho / (2\kappa^2 v_A^2)$ . Относительные амплитуды равны:

$$\frac{2R_1 R_2}{R_1^2 + R_2^2}, \quad \frac{2R_1 R_2 \omega_+ |\omega_-|}{R_1^2 \omega_+^2 + R_2^2 \omega_-^2} \quad (4.4)$$

и изменяются на отрезке  $[0, 1]$ . Интенсивность обмена энергией определяется частотой  $\omega_+ - \omega_-$ , которая в длинноволновом МГД-пределе  $r \ll 1$  равна  $2\kappa v_A = 2r\sqrt{\omega_c^+ \omega_c^-} \ll 2\sqrt{\omega_c^+ \omega_c^-}$ . В коротковолновом пределе  $r \gg 1$  имеем  $\omega_+ - \omega_- \cong \omega_c^- + \omega_c^+ \cong \omega_c^-$  и значит частота обмена энергией фактически равна электронной циклотронной частоте. Таким образом, интенсивность обмена энергией  $\varepsilon_m$  и  $\varepsilon_{kin}$  для коротких альфвеновских волн, как минимум, на два порядка выше, чем для длинных. Из (4.4) следует, что при  $R_1 = 0$  или  $R_2 = 0$  (т.е. когда альфвеновская волна распространяется только в одном направлении) амплитуды обращаются в нуль и значит обмен энергией отсутствует:  $\varepsilon_m = \text{const}$ ,  $\varepsilon_{kin} = \text{const}$ ,  $\varepsilon_{el} = \text{const}$ . В длинноволновом пределе  $r \ll 1$  относительные амплитуды совпадают и достигают максимума при  $R_1 = R_2$ . В общем случае амплитуда колебаний  $\varepsilon_{kin}$  максимальна при  $R_1 = R_2$ , а  $\varepsilon_m$  – при  $R_1 \omega_+ = R_2 |\omega_-|$ . При этом отношение амплитуд (4.4) меняется между  $|\omega_-|/\omega_+$  и  $\omega_+/\omega_-$ .

В МГД-теории из закона сохранения (4.1) выпадает слагаемое  $\varepsilon_{el}$ , которое при конечном  $r$  сопоставимо с  $\varepsilon_m$  и существенно меняет баланс энергии, что не учитывается в МГД.

## 5. Затухание альфвеновских волн

Альфвеновская волна (3.8) может рассматриваться как решение задачи Коши для системы (3.1) – (3.4) с нулевыми диссипациями и начальными условиями специального вида:

$$U_{\perp}|_{t=0} = u_0 e^{ikx}, H_{\perp}|_{t=0} = h_0 e^{ikx}, E_{\perp}|_{t=0} = e_0 e^{ikx}, T_{\pm}|_{t=0} = T_{\pm}^0 = \text{const} \quad (5.1)$$

где  $u_0, h_0 \in \mathbb{C}$ ,  $T_{\pm}^0 > 0$  произвольные, а  $e_0 = i \left( \frac{H_x}{c} u_0 + \frac{\kappa v_A}{\omega_p} \Lambda h_0 \right) / (1 + r^2)$ .

Считая доказанной теорему единственности решения задачи Коши для системы (3.1) – (3.4), в §3 было показано, что это решение имеет вид (3.8), где  $u(t)$ ,  $h(t)$ ,  $e(t)$  вычисляются по (3.9), (3.10),  $T_{\pm} \equiv T_{\pm}^0$ , а константы  $C_1$ ,  $C_2$  вычисляются из системы линейных уравнений:

$$\begin{aligned} C_1 + C_2 &= u_0 & C_1 &= \left( \frac{\kappa v_A}{\sqrt{4\pi\rho}} h_0 - \omega_- u_0 \right) / (\omega_+ - \omega_-) \\ C_1 \omega_+ + C_2 \omega_- &= \frac{\kappa v_A}{\sqrt{4\pi\rho}} h_0 & C_2 &= \left( \frac{\kappa v_A}{\sqrt{4\pi\rho}} h_0 - \omega_+ u_0 \right) / (\omega_- - \omega_+) \end{aligned} \quad (5.2)$$

Тогда затухание альфвеновских волн задаётся решением задачи Коши для системы (3.1) – (3.4) с конечными диссипациями и теми же начальными условиями (5.1). Это решение имеет вид:

$$U_{\perp} = u(t) e^{ikx}, H_{\perp} = h(t) e^{ikx}, E_{\perp} = e(t) e^{ikx}, T_{\pm} = T_{\pm}(t) \quad (5.3)$$

где комплексные функции  $u(t)$ ,  $h(t)$  и вещественные  $T_{\pm}(t)$  удовлетворяют нелинейной системе обыкновенных дифференциальных уравнений, которая получается подстановкой (5.3) в (3.1) – (3.4):

$$\begin{aligned} \frac{du}{dt} &= -\frac{\kappa^2 \mu_{\Sigma}}{\rho} u + \left( \frac{i\kappa H_x}{4\pi\rho} + \frac{c\kappa^3 \mu_*}{4\pi\rho^2} \right) h \\ \frac{dh}{dt} &= \frac{\kappa c}{1 + (kc/\omega_p)^2} \left\{ \left( \frac{iH_x}{c} + \frac{\kappa^2 \mu_*}{\rho} \right) u + \left( -\frac{c\kappa}{4\pi\sigma} + \frac{i\kappa\Lambda v_A}{\omega_p} - \frac{c\kappa^3 \mu_*}{4\pi\rho^2} \right) h \right\} \\ \frac{dT_+}{dt} &= Za_* \left\{ \mu_+ \kappa^2 \left[ |u|^2 + \frac{c^2 \kappa^2 \lambda_-^2}{16\pi^2 \rho^2} |h|^2 - \frac{c\kappa\lambda_-}{4\pi\rho} (\bar{u}h + u\bar{h}) \right] + \right. \\ &\quad \left. + \frac{m_-}{m_{\Sigma}} \frac{c^2 \kappa^2}{16\pi^2 \sigma} |h|^2 + b(T_- - T_+) \right\} \\ \frac{dT_-}{dt} &= a_* \left\{ \mu_- \kappa^2 \left[ |u|^2 + \frac{c^2 \kappa^2 \lambda_+^2}{16\pi^2 \rho^2} |h|^2 + \frac{c\kappa\lambda_+}{4\pi\rho} (\bar{u}h + u\bar{h}) \right] + \right. \\ &\quad \left. + \frac{m_+}{m_{\Sigma}} \frac{c^2 \kappa^2}{16\pi^2 \sigma} |h|^2 - b(T_- - T_+) \right\} \end{aligned} \quad (5.4)$$

с начальными условиями:

$$u(0) = u_0, \quad h(0) = h_0, \quad T_{\pm}(0) = T_{\pm}^0 \quad (5.5)$$

функция  $e(t)$  имеет явное выражение:

$$e(t) = \left\{ \left( \frac{iH_x}{c} + \frac{\kappa^2 \mu_*}{\rho} \right) u + \left( -\frac{c\kappa}{4\pi\sigma} + \frac{i\kappa\Lambda v_A}{\omega_p} - \frac{c\kappa^3 \mu^*}{4\pi\rho^2} \right) h \right\} / \left[ 1 + \left( \frac{\kappa c}{\omega_p} \right)^2 \right] \quad (5.6)$$

а величина  $a_* = \lambda_{\Sigma} e(\gamma - 1)/(k\rho)$ . Сильная нелинейность системы (5.4) обусловлена в том числе, нелинейной зависимостью коэффициентов переноса  $b, \sigma, \mu_{\pm}, \mu_*, \mu^*$  от  $T_+, T_-$ :

$$\sigma = RT_-^{3/2}, \quad b = R_0 T_-^{-3/2}, \quad \mu_{\pm} = T_{\pm}^{5/2} / R_{\pm} \quad (5.7)$$

$$\mu_* = (\lambda_- / R_+) T_+^{5/2} - (\lambda_+ / R_-) T_-^{5/2}, \quad \mu^* = (\lambda_-^2 / R_+) T_+^{5/2} + (\lambda_+^2 / R_-) T_-^{5/2}$$

где константы  $R, R_0, R_{\pm}$  вычисляются по (3.5).

Таким образом, для исследования процесса затухания альфвеновских волн не надо решать систему уравнений в частных производных (3.1) – (3.4), а достаточно решить значительно более простую систему обыкновенных дифференциальных уравнений (5.4). Отсюда следует, что затухание альфвеновских волн имеет чисто временной характер – изменяются только амплитуды  $h(t), u(t), e(t), T_{\pm}(t)$ , а пространственное (синусоидальное для  $U_{\perp}, H_{\perp}, E_{\perp}$  и константное для  $T_{\pm}$ ) распределение параметров плазмы остаётся неизменным. Указанное упрощение обусловлено плоской симметрией альфвеновской волны, однородностью плазмы и пространственной однородностью температур электронов и ионов и, как следствие, вырождением эффектов теплопроводности и конвекции.

На решениях (5.3) условие (3.6) выполнено, поскольку  $|H_{\perp}|^2 = |h(t)|^2$  и  $p_{\Sigma} = p_+ + p_- = \frac{k\rho_+}{m_+} T_+(t) + \frac{k\rho_-}{m_-} T_-(t)$  не зависят от  $x$ , а из (3.7) следует  $E_x = -\frac{1}{c} \text{Im}(\bar{u}h) = E_x(t)$  и значит условие квазинейтральности  $\text{div}\mathbf{E} = 0$  выполнено точно.

На решении (5.3) закон сохранения (2.10) имеет вид:

$$\frac{\rho |u(t)|^2}{2} + (1+r^2) \frac{|h(t)|^2}{8\pi} + \frac{T_+(t)}{Za_*} + \frac{T_-(t)}{a_*} = C_0 = \text{const} \quad (5.8)$$

$$\varepsilon_{kin} = \frac{\rho |u(t)|^2}{2}, \quad \varepsilon_m = \frac{|h(t)|^2}{8\pi}, \quad \varepsilon_{el} = r^2 \frac{|h(t)|^2}{8\pi}, \quad \varepsilon_+ = \frac{T_+(t)}{Za_*}, \quad \varepsilon_- = \frac{T_-(t)}{a_*}, \quad r = \frac{\kappa c}{\omega_p}$$

где константа  $C_0$  определяется начальными условиями (5.5).

## 6. Решение уравнений для амплитуд в незамагниченной плазме.

Точнее, речь пойдёт о ещё более узком случае – помимо  $H_x = 0$  будем считать  $\mu_{\pm} = 0$ , т.е. пренебрежём гидродинамическими вязкостями электронов

и ионов. В бездиссипативном случае при  $H_x = 0$  решение (3.8) даёт стационарную синусоидальную волну в однородной ( $\rho = \text{const}$ ,  $T_{\pm} = \text{const}$ ) плазме, и ниже исследуется затухание этой волны, вследствие омического сопротивления и обмена энергией между плазменными компонентами. Система (5.4) при  $H_x = 0$ ,  $\mu_{\pm} = 0$  даёт  $u \equiv \text{const}$ , а  $h$ ,  $T_{\pm}$  ищутся из системы уравнений:

$$\begin{aligned} \frac{dh}{dt} &= -\frac{r^2 \omega_p^2}{1+r^2} \cdot \frac{h}{4\pi\sigma} \\ \frac{dT_+}{dt} &= Za_* \left\{ \frac{m_-}{m_{\Sigma}} \frac{r^2 \omega_p^2}{16\pi^2 \sigma} |h|^2 + b(T_- - T_+) \right\} \\ \frac{dT_-}{dt} &= a_* \left\{ \frac{m_+}{m_{\Sigma}} \frac{r^2 \omega_p^2}{16\pi^2 \sigma} |h|^2 - b(T_- - T_+) \right\} \end{aligned} \quad (6.1)$$

где  $\sigma = RT_-^{3/2}$ ,  $b = R_0 T_-^{-3/2}$ ,  $r = \kappa c / \omega_p$ ,  $a_* = \lambda_{\Sigma} e(\gamma - 1) / (k\rho)$ . На решении (6.1) выполнен закон сохранения (5.8):

$$\frac{T_+}{Za_*} + \frac{T_-}{a_*} + (1+r^2) \frac{|h|^2}{8\pi} = C_0 \quad (6.2)$$

Без нарушения общности можно считать  $h \in \square$ ,  $h > 0$ , в противном случае, делая замену неизвестных  $(h_1, h_2) \rightarrow (h, \varphi)$ :  $h_1 = h \cos \varphi$ ,  $h_2 = h \sin \varphi$ .  $h = h_1 + ih_2$ , получим для  $h$  уравнение из (6.1), а  $\varphi \equiv \text{const}$ . Это означает, что амплитуда магнитного поля  $h(t)$  всё время коллинеарна вектору  $h(0)$ .

С помощью первого интеграла (6.2) понизим порядок системы (6.1), исключая из числа неизвестных  $T_+$ :

$$T_+ = C^0 - ZT_- - Za_*(1+r^2) \frac{h^2}{8\pi}, \quad C^0 = Za_* C_0 \quad (6.3)$$

Тогда получим следующую автономную систему на плоскости  $(h, T_-)$ :

$$\begin{aligned} \frac{dh}{dt} &= -\frac{\alpha_0 h}{T_-^{3/2}} \\ \frac{dT_-}{dt} &= \alpha_1 \frac{h^2}{T_-^{3/2}} + \frac{\beta_1}{T_-^{3/2}} - \frac{\gamma_1}{T_-^{1/2}} \end{aligned} \quad (6.4)$$

где константы  $\alpha_0, \beta_1, \gamma_1 > 0$ ,  $\alpha_1 \in \square$  имеют вид:

$$\begin{aligned} \alpha_0 &= \frac{r^2 \omega_p^2}{4\pi R(1+r^2)}, \quad \beta_1 = R_0 C^0 a_*, \quad \gamma_1 = (1+Z)R_0 a_* \\ \alpha_1 &= a_* \left[ \frac{m_+}{m_{\Sigma}} \frac{r^2 \omega_p^2}{16\pi^2 R} - \frac{R_0 Z a_*(1+r^2)}{8\pi} \right] \end{aligned} \quad (6.5)$$

Система (6.4) имеет одну особую точку

$$h^* = 0, \quad T_-^* = \frac{\beta_1}{\gamma_1} \quad (6.6)$$

в которой матрица Якоби системы (6.4) – диагональная:

$$\text{diag} \left\{ -\frac{\alpha_0}{(T_-^*)^{3/2}}, -\frac{\gamma_1}{(T_-^*)^{3/2}} \right\} \quad (6.7)$$

Поскольку  $\alpha_0 > 0$ ,  $\gamma_1 > 0$ , то собственные числа матрицы Якоби вещественные и отрицательные, поэтому особая точка (6.6) – притягивающий (устойчивый) узел и по теореме Гробмана-Хартмана [10] в некоторой окрестности особой точки топология интегральных кривых нелинейной системы (6.4) такая же как у её линеаризации в особой точке (6.6). В данном случае в справедливости теоремы Гробмана-Хартмана можно убедиться непосредственно, поскольку система (6.4) может быть следующим образом решена аналитически.

Поскольку  $dh/dt < 0$ , то  $h$  можно взять в качестве новой независимой переменной вместо времени  $t$ . Тогда для искомой функции  $T_- = T(h)$  имеем на основании (6.4):

$$\frac{\alpha_1 h^2}{T^{3/2}} + \frac{\beta_1}{T^{3/2}} - \frac{\gamma_1}{T^{1/2}} = \frac{dT}{dt} = \frac{dT}{dh} \cdot \frac{dh}{dT} = -\frac{\alpha_0 h}{T^{3/2}} \frac{dT}{dh}$$

Откуда получаем для нахождения  $T(h)$  линейное уравнение:

$$\frac{dT}{dh} = \frac{\gamma_1}{\alpha_0} \frac{T}{h} - \frac{\alpha_1 h^2 + \beta_1}{\alpha_0 h}$$

решение которого имеет вид:

$$T(h) = Ch^{\gamma_1/\alpha_0} + \frac{\beta_1}{\gamma_1} - \frac{\alpha_1}{2\alpha_0 - \gamma_1} h^2, \quad \gamma_1 \neq 2\alpha_0 \quad (6.8)$$

$$T(h) = Ch^2 + \frac{\beta_1}{\gamma_1} - \frac{\alpha_1}{\alpha_0} h^2 \ln h, \quad \gamma_1 = 2\alpha_0 \quad (6.9)$$

где  $C \in \mathbb{R}$  – произвольная константа. После чего зависимость  $h(t)$  ищется из первого уравнения (6.4) квадратурой:

$$-\alpha_0 t = \int \frac{T(h)^{3/2}}{h} dh \quad (6.10)$$

где  $T(h)$  вычисляется по (6.8) или (6.9). Поскольку интеграл в (6.10) расходится в нуле, то интегральные кривые входят в особую точку (6.6) за бесконечное время. Интегральные кривые на плоскости  $(h, T)$  легко построить на основании формул (6.8), (6.9). Их расположение зависит от соотношения между величинами  $\alpha_1$ ,  $\alpha_0$ ,  $\gamma$ .

**Лемма 1.** Пусть  $\theta = \frac{2\pi R R_0 a_*}{\omega_p^2}$ , тогда следующие пары условий

**эквивалентны:** 1)  $\alpha_1 > 0 \Leftrightarrow \frac{r^2}{1+r^2} > \frac{m_\Sigma}{m_+} Z\theta$ , 2)  $\gamma_1 > 2\alpha_0 \Leftrightarrow \frac{r^2}{1+r^2} < (1+Z)\theta$ . \*

Если учесть  $\frac{m_-}{m_+} Z\theta < (1+Z)\theta$ , то из  $\gamma_1 \leq 2\alpha_0$  следует, на основании

**Леммы 1**,  $\alpha_1 > 0$  (а из  $\alpha_1 \leq 0$  следует  $\gamma_1 > 2\alpha_0$ ). Кроме того, нужно учесть малость величины  $\theta$ :  $\theta \ll 1$ . Действительно, из выражений (3.5) следует равенство  $\theta = \frac{15(\gamma-1)}{8\sqrt{2\pi}0.5129} \cdot \frac{m_-}{m_+} (1+Z \frac{m_-}{m_+})$ . Например, для дейтерия и  $\gamma = 5/3$

имеем  $\theta = 0.00027$ . Таким образом, согласно Леммы 1, логически возможны и содержательны только следующие случаи:

- 1)  $\gamma_1 < \alpha_0$ , 2)  $\gamma_1 = \alpha_0$ , 3)  $\alpha_0 < \gamma_1 < 2\alpha_0$ , 4)  $\gamma_1 = 2\alpha_0$
- 5)  $\alpha_1 > 0$ ,  $\gamma_1 > 2\alpha_0$ , 6)  $\alpha_1 = 0$ , 7)  $\alpha_1 < 0$

Для каждого из них ниже нарисована картина интегральных кривых. Пунктиром обозначена парабола, составленная из точек максимума или минимума функции  $T(h)$ :  $T_*(h) = \frac{\beta_1}{\gamma_1} + \frac{\alpha_1}{\gamma_1} h^2$ . Жирная линия отвечает

интегральной кривой для  $C = 0$ .

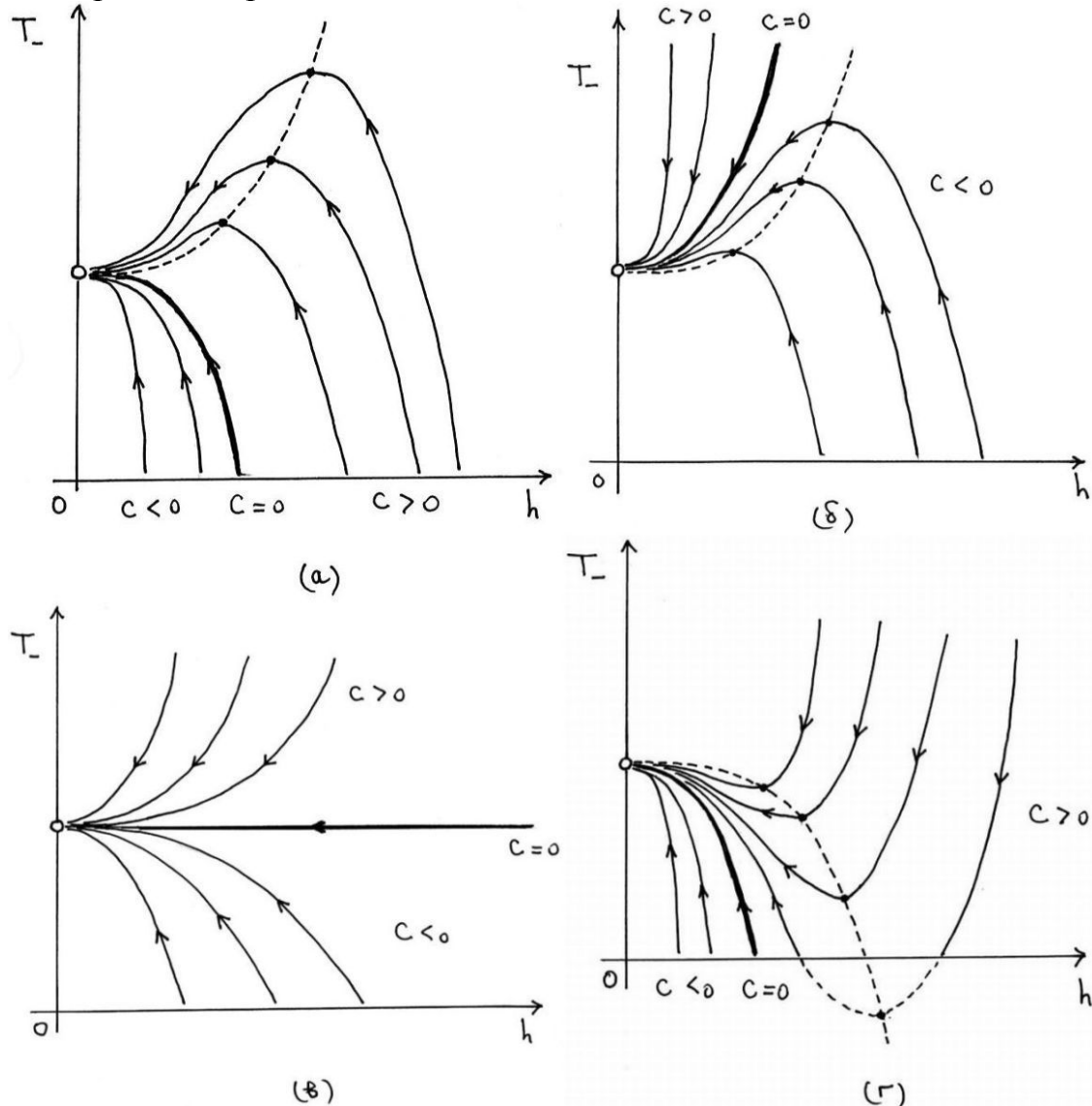


Рис. 1

Если заданы начальные условия  $T_{\pm}^0 > 0$ ,  $h_0 > 0$ , то решение задаётся интегральной кривой, начинающейся в точке  $(h_0, T_-^0)$  и входящей (за бесконечное время) в особую точку  $(0, \beta_1/\gamma_1)$ . Начальное данное  $(h_0, T_-^0)$  лежит внутри криволинейного треугольника, ограниченного осями  $h=0$ ,  $T_- = 0$  и кривой  $T_{zp}(h) = a_* C_0 - \frac{(1+r^2)a_*}{8\pi} h^2$ , где константа  $C_0$  вычисляется с помощью формулы (6.2) по начальным данным  $T_{\pm}^0$ ,  $h_0$ . При этом особая точка лежит на левой стороне треугольника:  $\beta_1/\gamma_1 = \frac{Z}{1+Z} a_* C_0$ .

**Теорема 1. Интегральная кривая, начинающаяся в точке  $(h_0, T_-^0)$  криволинейного треугольника, всё время остаётся внутри него. (Физический смысл этого утверждения в положительности в каждый момент времени температуры ионов  $T_+$ , вычисленной по (6.3) и температуры электронов  $T_-$ ).**

**Доказательство.** Положительность температуры электронов  $T_-$  означает, что интегральная кривая, начинающаяся в точке  $(h_0, T_-^0)$ , не пересекает ось  $h$ . Для случаев 1)÷6) это очевидно, поскольку для них интегральные кривые  $T(h)$  либо монотонные, либо имеют только один экстремум на  $[0, h_0]$ , являющийся максимумом  $T(h)$  на этом отрезке. В случае 7) интегральная кривая, начинающаяся в верхней полуплоскости  $T_- > 0$ , может пересечь ось  $h$ , а затем снова вернуться в верхнюю полуплоскость. Однако, для этого необходимо, очевидно, чтобы  $h_0 > h_*$ , где  $h_*$  – пересечение параболы минимумов  $T_*(h) = \frac{\beta_1}{\gamma_1} + \frac{\alpha_1}{\gamma_1} h^2$  с осью  $h$ :  $h_* = (-\beta_1/\alpha_1)^{1/2}$ . Пусть  $h^*$  – пересечение криволинейной границы треугольника  $T_{zp}(h)$  с осью  $h$ :  $T_{zp}(h) = 0$ ,  $h^* = (8\pi C_0 / (1+r^2))^{1/2}$ . Очевидно,  $h_0 < h^*$ . Поэтому, если установить неравенство  $h^* < h_*$ , то получим  $h_0 < h^* < h_*$  и значит интегральная кривая, начинающаяся в точке  $(h_0, T_-^0)$ , не пересекает ось  $h$ . Неравенство  $h^* < h_*$ , с учётом выражений (6.5), равносильно неравенству:

$$\frac{8\pi C_0}{1+r^2} < -\frac{\beta_1}{\alpha_1} = R_0 Z a_*^2 C_0 \left/ \left[ \frac{R_0 Z a_*^2 (1+r^2)}{8\pi} - \frac{m_+}{m_{\Sigma}} \frac{r^2 \omega_p^2}{16\pi^2 R} a_* \right] \right.$$

Которое перепишем так:

$$1 < \frac{R_0 Z a_*^2 (1+r^2)}{8\pi} \left/ \left[ \frac{R_0 Z a_*^2 (1+r^2)}{8\pi} - \frac{m_+}{m_{\Sigma}} \frac{r^2 \omega_p^2}{16\pi^2 R} a_* \right] \right.$$

Но последнее неравенство верно, т.к. знаменатель положителен (ибо  $\alpha_1 < 0$ ).

Теперь докажем, что интегральная кривая не пересекает криволинейную границу треугольника  $T_{zp}(h)$ . Допустим, это не так. Пусть  $h^0$  – наибольшее

$h \in [0, h_0]$ , для которого  $T(h) = T_{zp}(h)$ . Значит, для  $h^0 < h \leq h_0$ , имеем  $T(h) < T_{zp}(h)$ . Покажем, что

$$T'(h^0) > T'_{zp}(h^0) \quad (6.11)$$

Это приведёт к противоречию, поскольку для  $h > h^0$  и достаточно близких к  $h^0$  получим абсурдное соотношение:

$$\begin{aligned} 0 < T_{zp}(h) - T(h) &= T_{zp}(h^0) - T(h^0) + (T'_{zp}(h^0) - T'(h^0))(h - h^0) + o(h - h^0) = \\ &= (T'_{zp}(h^0) - T'(h^0))(h - h^0) + o(h - h^0) < 0 \end{aligned}$$

Итак, установим (6.11). Имеем:

$$\begin{aligned} T'(h^0) &= C \frac{\gamma_1}{\alpha_0} (h^0)^{\frac{\gamma_1}{\alpha_0} - 1} - \frac{2\alpha_1}{2\alpha_0 - \gamma_1} h^0, \quad T'_{zp}(h^0) = -\frac{2(1+r^2)a_*}{8\pi} h^0 \\ T(h^0) &= T_{zp}(h^0) : a_* C_0 - \frac{(1+r^2)a_*}{8\pi} (h^0)^2 = \frac{\beta_1}{\gamma_1} + C (h^0)^{\gamma_1/\alpha_0} - \frac{\alpha_1}{2\alpha_0 - \gamma_1} (h^0)^2 \end{aligned}$$

Из последнего равенства выразим  $C (h^0)^{\gamma_1/\alpha_0}$  и подставим в доказываемое неравенство (6.11). В результате (6.11) сведётся к неравенству:

$$a_* C_0 > \frac{\beta_1}{\gamma_1} + \left[ \frac{(1+r^2)a_*}{8\pi} - \frac{\alpha_1}{2\alpha_0 - \gamma_1} + \frac{2\alpha_0\alpha_1}{\gamma_1(2\alpha_0 - \gamma_1)} - \frac{2(1+r^2)a_*}{8\pi} \frac{\alpha_0}{\gamma_1} \right] (h^0)^2$$

Квадратная скобка в последнем неравенстве, учитывая (6.5), равна:

$$\frac{\alpha_1}{\gamma_1} + \frac{(1+r^2)a_*}{8\pi\gamma_1} (\gamma_1 - 2\alpha_0) = \frac{a_*}{\gamma_1} \cdot \frac{(1+r^2)\omega_p^2}{16\pi^2 R} \cdot \frac{m_-}{m_\Sigma} \left\{ \frac{m_\Sigma}{m_-} \theta - \frac{r^2}{1+r^2} \right\}$$

Поэтому доказываемое неравенство сведётся к следующему:

$$a_* C_0 > \frac{Z}{1+Z} a_* C_0 + \frac{a_*}{(1+Z)R_0 a_*} \cdot \frac{(1+r^2)\omega_p^2}{16\pi^2 R} \cdot \frac{m_-}{m_\Sigma} \left\{ \frac{m_\Sigma}{m_-} \theta - \frac{r^2}{1+r^2} \right\} (h^0)^2$$

После элементарных преобразований получим:

$$C_0 > \frac{1+r^2}{8\pi} \left[ 1 - \frac{r^2}{1+r^2} \frac{m_-}{m_\Sigma} \cdot \frac{1}{\theta} \right] (h^0)^2$$

Это верно, поскольку  $T_{zp}(h^0) > 0$  и значит  $C_0 > \frac{1+r^2}{8\pi} (h^0)^2$ .

Теорема доказана.

Заметим, есть ещё одна интегральная кривая, входящая в особую точку вдоль оси  $T_-$ , не учитываемая формулами (6.8), (6.9), которая получается интеграцией системы (6.4), где надо положить  $h \equiv 0$ :

$$-\frac{\beta_1}{\gamma_1} T^{1/2} - \frac{T^{3/2}}{3} + \frac{1}{2} \left( \frac{\beta_1}{\gamma_1} \right)^{3/2} \ln \left| \frac{\sqrt{\beta_1/\gamma_1} + T^{1/2}}{\sqrt{\beta_1/\gamma_1} - T^{1/2}} \right| = \frac{\gamma_1}{2} t + \text{const}$$

Интегральные кривые для случаев 1) – 4) отвечают коротким волнам, для случая 7) – длинным, а для случаев 5), 6) – средним. Для дейтерия, например, это даёт такие оценки: короткие  $\ell < 269c/\omega_p$ , длинные  $\ell > 380c/\omega_p$ , средние

$269c/\omega_p \leq \ell \leq 380c/\omega_p$ , где  $\ell = 2\pi/\kappa$  – длина волны. При затухании волны энергия магнитного поля полностью переходит в тепловую энергию электронов и ионов, при этом изменение самих тепловых энергий электронов и ионов может иметь немонотонный характер, это свидетельствует об обмене тепловой энергией между электронами и ионами. Например, для коротких и средних волн тепловая энергия электронов, в зависимости от начального условия, может сначала монотонно расти, а затем монотонно убывать до равновесного значения  $T_-^*$ , причём на этом этапе монотонного роста тепловая энергия ионов, как показывает несложный анализ, может, в свою очередь, то убывать, то возрастать. Для длинных волн тепловая энергия электронов всегда монотонно возрастает.

Качественное поведение интегральных кривых в случаях 1) – 4) изображено на Рис. 1. В случае 1) – 3) жирная кривая – всегда парабола, касающаяся пунктирной параболы  $T_- = T_*(h)$  в точке  $h = 0$ , причём при  $C < 0$  максимум интегральной кривой достигается в точке  $h = 0$ , а не на пунктирной параболе. В случае 1) интегральные кривые входят в особую точку под углом  $\pi/2$  ( $\equiv$  касаются параболы  $T_-$ ), в случае 3) – под нулевым углом (касаются параболы  $T_- = T_*(h)$ ), в случае 2) – под конечными углами, меняющимися от  $-\pi/2$  до  $\pi/2$ . В случае 4) жирная кривая отличается от параболы и каждая интегральная кривая касается пунктирной параболы и имеет максимум, лежащий на этой параболе. В случае 5) интегральные кривые изображены на Рис. 1б): жирная парабола направлена вверх, при  $C > 0$  минимумы интегральных кривых достигаются в точке  $h = 0$ , а при  $C < 0$  максимумы интегральных кривых лежат на пунктирной параболе и все они касаются её в точке  $h = 0$ . Случаи 6) и 7) соответствуют Рис. 1в), г). В случае 7) жирная и пунктирная параболы касаются друг в друга и направлены вниз, а все интегральные кривые касаются пунктирной параболы в точке  $h = 0$ . Стрелкой указано направление роста  $t$ .

Из (6.5) и (6.7) следует, что затухание амплитуды магнитного поля не зависит от коэффициента теплообмена между компонентами и для длинных волн значительно слабее, чем для коротких, причём, как и следовало ожидать, затухание возрастает с уменьшением проводимости.

## 7. Особые точки уравнений для амплитуд

Обезразмерим систему уравнений (5.4) для амплитуд с целью её последующего численного исследования. Ниже рассматривается исключительно замагниченная плазма с напряжённостью магнитного поля  $H_x \neq 0$  и плотностью  $\rho > 0$ . Выберем следующие характерные масштабы величин:

- $\rho_0 = \rho$  – плотность плазмы
- $H_0 = H_x$  – напряжённость магнитного поля

- $U_0 = \frac{H_0}{\sqrt{4\pi\rho_0}} = v_A$  – альфвеновская скорость
- $L_0 = \ell_c = \frac{c}{\omega_p} = \frac{c\sqrt{\lambda_+\lambda_-}}{\sqrt{4\pi\rho_0}}$  – скиновья длина
- $t_0 = \ell_c/U_0 = (\omega_c^+\omega_c^-)^{-1/2}$  – характерное время
- $\varepsilon_0 = \frac{H_0^2}{8\pi}$  – плотность энергии
- $T_0 = \varepsilon_0 \frac{\lambda_\pm e}{\rho_0 k} = v_A^2 \frac{\lambda_\pm e}{2k}$  – характерная температура в °K

Тогда система (5.4) после обезразмеривания даёт:

$$\begin{aligned} \frac{du}{dt} &= (ir + \alpha_1)h + \beta_1 u \\ \frac{dh}{dt} &= \frac{r}{1+r^2} \left\{ (i + \alpha_2)u + \left[ r \left( -\frac{\zeta}{T_-^{3/2}} + i\Lambda \right) + \beta_2 \right] h \right\} \\ \frac{dT_-}{dt} &= 2(\gamma - 1) \left\{ \frac{m_+ r^2 \zeta}{m_\Sigma} \frac{|h|^2}{T_-^{3/2}} - \eta \frac{T_- - T_+}{T_-^{3/2}} + \alpha_3 |u|^2 + \beta_3 |h|^2 + \frac{r^3}{\text{Re}_-} \left( \frac{\lambda_+}{\lambda_-} \right)^{1/2} (u\bar{h} + \bar{u}h) \right\} \\ \frac{dT_+}{dt} &= 2Z(\gamma - 1) \left\{ \frac{m_- r^2 \zeta}{m_\Sigma} \frac{|h|^2}{T_-^{3/2}} + \eta \frac{T_- - T_+}{T_-^{3/2}} + \alpha_4 |u|^2 + \beta_4 |h|^2 - \right. \\ &\quad \left. - \frac{r^3}{\text{Re}_+} \left( \frac{\lambda_-}{\lambda_+} \right)^{1/2} (u\bar{h} + \bar{u}h) \right\} \end{aligned} \quad (7.1)$$

где безразмерные величины  $\alpha_j, \beta_j, 1 \leq j \leq 4$  равны:

$$\alpha_1 = r^3 \left[ \left( \frac{\lambda_-}{\lambda_+} \right)^{1/2} \frac{1}{\text{Re}_+} - \left( \frac{\lambda_+}{\lambda_-} \right)^{1/2} \frac{1}{\text{Re}_-} \right], \alpha_2 = \alpha_1/r, \alpha_3 = r^2/\text{Re}_-, \alpha_4 = r^2/\text{Re}_+ \quad (7.2)$$

$$\beta_1 = -r^2 \left( \frac{1}{\text{Re}_+} + \frac{1}{\text{Re}_-} \right), \beta_2 = -r^3 \left( \frac{1}{\text{Re}_+} \frac{\lambda_-}{\lambda_+} + \frac{1}{\text{Re}_-} \frac{\lambda_+}{\lambda_-} \right), \beta_3 = \frac{r^4}{\text{Re}_-} \frac{\lambda_+}{\lambda_-}, \beta_4 = \frac{r^4}{\text{Re}_+} \frac{\lambda_-}{\lambda_+}$$

Как и выше,  $r = kc/\omega_p$ . Кроме того,  $\zeta, \eta$  – безразмерные числа подобия,  $\text{Re}_\pm = \ell_c \rho_0 U_0 / \mu_\pm = R_\pm / T_\pm^{5/2}$  – магнитное число Рейнольдса, где величины  $\zeta, \eta, R_\pm$  равны:

$$\begin{aligned} \zeta &= 0.386 LZ^3 \frac{ce^3}{m_+^2} \frac{(4\pi\rho_0)^{5/2}}{H_0^4} \left( 1 + Z \frac{m_-}{m_+} \right)^{-3/2}, \eta = 1.46 \zeta \frac{m_-}{m_+} \left( 1 + Z \frac{m_-}{m_+} \right) \\ R_+ &= 2.87 \zeta \left( \frac{m_-}{m_+} \right)^{1/2} Z^3 \left( 1 + Z \frac{m_-}{m_+} \right)^{-1}, R_- = 5.317 \zeta \left( 1 + Z \frac{m_-}{m_+} \right)^{-1} \end{aligned} \quad (7.3)$$

Из (7.3) следует, что  $\zeta, \eta, R_{\pm} \propto \rho_0^{5/2}/H_0^4 = \rho^{5/2}/H_x^4$  и значит последняя комбинация является определяющей в задаче о затухании альфвеновских волн.

Учитывая  $Z \frac{m_-}{m_+} \ll 1$ , приближённо, согласно (7.3), имеем

$$\zeta : \eta : R_+ : R_- = 1 : \frac{3 m_-}{2 m_+} : 3Z^3 \left( \frac{m_-}{m_+} \right)^{1/2} : 5. \quad \text{Например, для дейтериевой плазмы}$$

$$m_+ = 2m_p, \quad m_- = m_e, \quad Z = 1 \quad \text{имеем} \quad m_+/m_- = 3670, \quad m_-/m_+ = 0.00027,$$

$$(m_-/m_+)^{1/2} = 0.0165, \quad \eta = 0.0004\zeta, \quad R_+ = 0.047\zeta, \quad R_- = 5.317\zeta.$$

Отметим значения  $\zeta$  и скиновых длин для некоторых видов плазмы:

- z-пинч (дейтерий) [11]:  $\rho_0 = 2.4 \cdot 10^{-7} \text{ г} \cdot \text{см}^{-3}$ ,  $H_0 = 1.54 \cdot 10^4 \text{ Гс}$ ,  $\zeta = 0.482$ ,  $\ell_c = 1.98 \cdot 10^{-3} \text{ см}$
- перетяжка z-пинча и плазменного фокуса (дейтерий) [11]:  $\rho_0 = 10^{-4} \text{ г} \cdot \text{см}^{-3}$ ,  $H_0 = 2.8 \cdot 10^6 \text{ Гс}$ ,  $\zeta = 0.783 \cdot 10^{-3}$ ,  $\ell_c = 1.097 \cdot 10^{-4} \text{ см}$
- плазменный ускоритель (дейтерий) [12]:  $\rho_0 = 1.67 \cdot 10^{-8} \text{ г} \cdot \text{см}^{-3}$ ,  $H_0 = 1.5 \cdot 10^4 \text{ Гс}$ ,  $\zeta = 0.137 \cdot 10^{-2}$ ,  $\ell_c = 0.752 \cdot 10^{-2} \text{ см}$
- солнечный ветер (водород):  $\rho_0 = 10^{-23} \text{ г} \cdot \text{см}^{-3}$ ,  $H_0 = 10^{-4} \text{ Гс}$ ,  $\zeta = 0.609 \cdot 10^{-6}$ ,  $\ell_c = 0.217 \cdot 10^6 \text{ см}$

В безразмерном виде закон сохранения полной энергии имеет вид

$$\frac{T_+}{Z(\gamma-1)} + \frac{T_-}{\gamma-1} + |h|^2 (1+r^2) + |u|^2 = C_0 = \text{const} \quad (7.4)$$

$$\varepsilon_+ = \frac{T_+}{Z(\gamma-1)}, \quad \varepsilon_- = \frac{T_-}{\gamma-1}, \quad \varepsilon_m = |h|^2, \quad \varepsilon_{el} = r^2 |h|^2, \quad \varepsilon_{kin} = |u|^2$$

Таким образом, решения уравнений для амплитуд зависят только от двух безразмерных параметров  $r$  и  $\zeta$ , принимающих положительные значения. Случай  $r \ll 1$  соответствует коротким альфвеновским волнам,  $r \ll 1$  – длинным, а  $\zeta \ll 1$  – хорошо проводящей плазме.

Понизим порядок системы (7.1), исключив посредством закона сохранения (7.4)  $T_+$  из числа неизвестных:

$$T_+ = Z(\gamma-1)[C_0 - (1+r^2)|h|^2 - |u|^2] - ZT, \quad T = T_- \quad (7.5)$$

Тогда в скалярном виде получим следующую систему,  $h = h_1 + ih_2$ ,  $u = u_1 + iu_2$ :

$$\frac{dT}{dt} = 2(\gamma-1) \left\{ \frac{m_+}{m_\Sigma} r^2 \zeta \frac{h_1^2 + h_2^2}{T^{3/2}} + \alpha_3 (u_1^2 + u_2^2) + \beta_3 (h_1^2 + h_2^2) + \frac{r^3}{\text{Re}_-} \left( \frac{\lambda_+}{\lambda_-} \right)^{1/2} \cdot \right.$$

$$\left. \cdot 2(u_1 h_1 + u_2 h_2) - \frac{\eta}{T^{3/2}} [(1+Z)T - Z(\gamma-1)(C_0 - u_1^2 - u_2^2 - (1+r^2)(h_1^2 + h_2^2))] \right\}$$

$$\begin{aligned}\frac{du_1}{dt} &= \beta_1 u_1 + \alpha_1 h_1 - r h_2, \quad \frac{du_2}{dt} = \beta_1 u_2 + \alpha_1 h_2 + r h_1 \\ \frac{dh_1}{dt} &= \frac{r}{1+r^2} \left[ \alpha_2 u_1 - u_2 + \left( \beta_2 - \frac{\zeta r}{T^{3/2}} \right) h_1 - \Lambda r h_2 \right] \\ \frac{dh_2}{dt} &= \frac{r}{1+r^2} \left[ u_1 + \alpha_2 u_2 + \Lambda r h_1 + \left( \beta_2 - \frac{\zeta r}{T^{3/2}} \right) h_2 \right]\end{aligned}\quad (7.6)$$

**Лемма 2.** Система (7.6) имеет в  $\square^5 = \{(T, u_1, u_2, h_1, h_2)\}$  единственную особую точку  $(T^0, 0, 0, 0, 0)$ ,  $T^0 = \frac{Z}{1+Z}(\gamma-1)C_0$ , где  $C_0$  – значение первого интеграла (7.4).

**Доказательство.** Точка  $(T, u_1, u_2, h_1, h_2)$  – особая точка для автономной системы (7.6), если правые части этой системы обращаются в этой точке в нуль. Снова вернёмся к комплексным обозначениям. Тогда обращение в нуль правых частей уравнения для  $u_1, u_2, h_1, h_2$  в комплексном виде запишется так:

$$(\alpha_1 + ir)h + \beta_1 u = 0, \quad \left(\beta_2 - \frac{\zeta r}{T^{3/2}} + i\Lambda r\right)h + (\alpha_2 + i)u = 0$$

Определитель этой линейной однородной системы уравнений относительно  $h$  и  $u$  равен:

$$\begin{aligned}(\alpha_1 + ir)(\alpha_2 + i) - \beta_1 \left(\beta_2 - \frac{\zeta r}{T^{3/2}} + i\Lambda r\right) &= r(\alpha_2 + i)^2 - \beta_1 \left(\beta_2 - \frac{\zeta r}{T^{3/2}} + i\Lambda r\right) = \\ &= [r(\alpha_2^2 - 1) - \beta_1 \beta_2 + \beta_1 \frac{\zeta r}{T^{3/2}}] + i[2 + \alpha_2 - \beta_1 \Lambda r]\end{aligned}$$

Но вещественная часть определителя отрицательная

$$\begin{aligned}r(\alpha_2^2 - 1) - \beta_1 \beta_2 + \beta_1 \frac{\zeta r}{T^{3/2}} < r\alpha_2^2 - \beta_1 \beta_2 &= r^5 \left[ \left( \frac{\lambda_-}{\lambda_+} \right)^{1/2} \frac{1}{\text{Re}_+} - \left( \frac{\lambda_+}{\lambda_-} \right)^{1/2} \frac{1}{\text{Re}_-} \right]^2 - \\ - r^5 \left( \frac{1}{\text{Re}_+} + \frac{1}{\text{Re}_-} \right) \left( \frac{1}{\text{Re}_+} \frac{\lambda_-}{\lambda_+} + \frac{1}{\text{Re}_-} \frac{\lambda_+}{\lambda_-} \right) &= - \frac{r^5}{\text{Re}_+ \text{Re}_-} \left( \sqrt{\frac{\lambda_+}{\lambda_-}} + \sqrt{\frac{\lambda_-}{\lambda_+}} \right)^2 < 0\end{aligned}$$

и значит, он отличен от нуля. Поэтому в особой точке  $u = u_1 + iu_2 = 0$ ,  $h = h_1 + ih_2 = 0$ . Но тогда, приравнивая к нулю правую часть первого уравнения

(7.6), получим  $T = T^0 = \frac{Z}{1+Z}(\gamma-1)C_0$ . Лемма доказана.

Для классификации особой точки вычислим матрицу Якоби правых частей в особой точке:

$$J = \text{diag} \left\{ -\frac{2(\gamma-1)\eta(1+Z)}{(T^0)^{3/2}}, J^0 \right\}$$

где  $J^0$  – 2x2-блочная матрица с 2x2 блоками:  $J^0 = \left\| J_{js}^0 \right\|, 1 \leq j, s \leq 2$

$$J_{11}^0 = \begin{pmatrix} \beta_1 & 0 \\ 0 & \beta_1 \end{pmatrix}, \quad J_{12}^0 = \begin{pmatrix} \alpha_1 & -r \\ r & \alpha_1 \end{pmatrix}, \quad J_{21}^0 = \frac{r}{1+r^2} \begin{pmatrix} \alpha_2 & -1 \\ 1 & \alpha_2 \end{pmatrix}, \quad J_{22}^0 = \frac{1}{1+r^2} \begin{pmatrix} \beta_0 & -\Lambda r^2 \\ \Lambda r^2 & \beta_0 \end{pmatrix},$$

$$\text{где } \beta_0 = r \left( \beta_2 - \frac{\zeta r}{(T^0)^{3/2}} \right).$$

Найдём собственные числа  $J$ . Одно число, очевидно, равно  $\lambda_0 = -\frac{2(\gamma-1)\eta(1+Z)}{(T^0)^{3/2}}$ . Остальные являются собственными числами матрицами

$J^0$ . Прямое вычисление характеристического многочлена даёт:

$$\det(J^0 - \lambda I_4) = \frac{1}{(1+r^2)^2} \{ [(\beta_1 - \lambda)(\beta_0 - \lambda(1+r^2)) + r^2 - \alpha_1^2]^2 + [(\beta_1 - \lambda)\Lambda r^2 - 2\alpha_1 r]^2 \}$$

где  $I_4$  – единичная матрица четвёртого порядка. Отсюда получаются два квадратных с комплексными коэффициентами уравнения для нахождения  $\lambda$ :

$$(\beta_1 - \lambda)(\beta_0 - \lambda(1+r^2)) + r^2 - \alpha_1^2 \pm i[(\beta_1 - \lambda)\Lambda r^2 - 2\alpha_1 r] = 0$$

что даёт:

$$\lambda^2(1+r^2) - \lambda[\beta_0 + \beta_1(1+r^2) \pm i\Lambda r^2] + \beta_1\beta_0 + r^2 - \alpha_1^2 \pm i(\beta_1\Lambda r^2 - 2\alpha_1 r) = 0 \quad (7.7)$$

В следующей теореме собраны технические результаты.

**Теорема 2. 1) Каждое уравнений (7.7) не имеет вещественных, сопряжённых или кратных корней**

**2) Если  $\lambda_1 \neq \lambda_2$  – корни (7.7) для верхнего знака, то  $\bar{\lambda}_1 \neq \bar{\lambda}_2$  – корни (7.7) для нижнего знака**

**3) Все корни (7.7) имеют отрицательные вещественные части**

**4) Все собственные числа  $\{\lambda_0, \lambda_1, \lambda_2, \bar{\lambda}_1, \bar{\lambda}_2\}$  матрицы  $J$  однократные и есть базис  $\square^5$ , состоящий из собственных векторов  $J$ .** \*

Из Теоремы 2. 3) следует, что особая точка  $(T^0, 0, 0, 0, 0)$  это притягивающий (устойчивый) многомерный узел и, по теореме Гробмана-Хартмана [10], в некоторой окрестности особой точки топология интегральных кривых нелинейной системы (7.6) и её линеаризации в рассматриваемой особой точке совпадают.

Ниже рассмотрена геометрия решений линеаризованной системы.

## 8. Геометрия решений линеаризованной системы

Рассмотрим линеаризованную систему

$$(\dot{T}, \dot{u}_1, \dot{u}_2, \dot{h}_1, \dot{h}_2)^t = J(T, u_1, u_2, h_1, h_2)^t \quad (8.1)$$

где  $J$  – матрица Якоби системы (7.6) в особой точке. Пусть  $\lambda_1 \neq \lambda_2$  – корни характеристического уравнения (7.7) для верхнего знака. Если  $x_j + iy_j \neq 0$  – собственный вектор  $J$  для значения  $\lambda_j$ ,  $j=1,2$ , то, как известно, линейная оболочка  $V_j = [x_j, y_j]$  является двумерным инвариантом подпространства  $\square^5$  для оператора  $J$ , причём, если  $\lambda_j = a_j + ib_j$ ,  $j=1,2$ , то

$$Jx_j = a_j x_j - b_j y_j, Jy_j = a_j y_j + b_j x_j, \quad j=1,2 \quad (8.2)$$

Если  $x_0 = (1, 0, 0, 0, 0)$ , то  $V_0 = [x_0]$  – собственное подпространство, отвечающее значению  $\lambda_0$ , а  $\square^5$  распадается в прямую сумму  $\square^5 = V_0 \oplus V_1 \oplus V_2$ . В частности,  $\{x_0, x_1, y_1, x_2, y_2\}$  – базис в  $\square^5$  и из (8.2) следует, что матрица  $J$  в этом базисе равна:

$$\text{diag} \left\{ 1, \begin{pmatrix} a_1 & b_1 \\ -b_1 & a_1 \end{pmatrix}, \begin{pmatrix} a_2 & b_2 \\ -b_2 & a_2 \end{pmatrix} \right\}$$

Поэтому, если  $(z_0, z_1, z_2, z_3, z_4)$  – координаты вектора из  $\square^5$  в базисе  $\{x_0, x_1, y_1, x_2, y_2\}$ , то система (8.1) в этом базисе распадается на три независимые подсистемы:

$$\begin{aligned} \dot{z}_0 &= \lambda_0 z_0, & \dot{z}_1 &= a_1 z_1 + b_1 z_2 & \dot{z}_3 &= a_2 z_3 + b_2 z_4 \\ \dot{z}_2 &= -b_1 z_1 + a_1 z_2, & \dot{z}_4 &= -b_2 z_3 + a_2 z_4 \end{aligned}$$

решение которых имеет вид:

$$\begin{aligned} z_0(t) &= D_0 e^{\lambda_0 t}, & (z_1(t), z_2(t)) &= D_1 e^{a_1 t} (\cos(\varphi_1 - b_1 t), \sin(\varphi_1 - b_1 t)) \\ (z_3(t), z_4(t)) &= D_2 e^{a_2 t} (\cos(\varphi_2 - b_2 t), \sin(\varphi_2 - b_2 t)) \end{aligned} \quad (8.3)$$

где  $D_0, D_1, D_2, \varphi_1, \varphi_2$  – произвольные вещественные константы. Согласно **Теореме 2**,  $\lambda_0, a_1, a_2 < 0$ . Поэтому из (8.3) следует, что проекция любого решения линеаризованной системы (8.1) на двумерную плоскость  $V_j, j=1,2$  есть спираль, наматывающаяся на точку 0 с угловой скоростью  $b_j$  и декрементом затухания  $|a_j|$ .

Нетрудно получить явные, хотя и громоздкие, формулы для  $a_j, b_j, j=1,2$  и для базисных векторов  $x_j, y_j, j=1,2$ . Решая уравнение (7.7) для верхнего знака, получим:

$$\begin{aligned} \lambda_{1,2} &= \frac{\beta_0 + \beta_1(1+r^2) + i\Lambda r^2}{2(1+r^2)} \pm \\ &\pm \frac{\{[\beta_0 + \beta_1(1+r^2) + i\Lambda r^2]^2 - 4(1+r^2)[\beta_1\beta_0 + r^2 - \alpha_1^2 + i(\beta_1\Lambda r^2 - 2\alpha_1 r)]\}^{1/2}}{2(1+r^2)} \end{aligned} \quad (8.4)$$

Для извлечения корня из комплексного числа воспользуемся формулой

$$\sqrt{a+ib} = \pm \left\{ \left[ \frac{(a^2+b^2)^{1/2} + a}{2} \right]^{1/2} + i \text{sgn } b \left[ \frac{(a^2+b^2)^{1/2} - a}{2} \right]^{1/2} \right\} \quad (8.5)$$

Подкоренное выражение в (8.4) равно  $A+iB$ , где

$$\begin{aligned} A &= [\beta_0 - \beta_1(1+r^2)]^2 - \Lambda^2 r^4 - 4(1+r^2)(r^2 - \alpha_1^2) \\ B &= 2[\Lambda r^2(\beta_0 + \beta_1(1+r^2)) - 2(1+r^2)(\beta_1\Lambda r^2 - 2\alpha_1 r)] \end{aligned} \quad (8.6)$$

По формуле (8.5) получим:

$$\begin{aligned}
a_{1,2} &= \frac{1}{2(1+r^2)} \left\{ \beta_0 + \beta_1(1+r^2) \pm \left[ \frac{\sqrt{A^2 + B^2} + A}{2} \right]^{1/2} \right\} \\
b_{1,2} &= \frac{1}{2(1+r^2)} \left\{ \Lambda r^2 \pm \operatorname{sgn} B \left[ \frac{\sqrt{A^2 + B^2} - A}{2} \right]^{1/2} \right\}
\end{aligned} \tag{8.7}$$

Формулы (8.6), (8.7) позволяют в явном виде найти собственные числа  $\lambda_j = a_j + ib_j$ ,  $j=1,2$

**Лемма 3.** Положим для  $j=1,2$

$$\begin{aligned}
x_j &= \left( 0, \frac{r(\beta_1 - a_j) - \alpha_1 b_j}{(\beta_1 - a_j)^2 + b_j^2}, -\frac{rb_j + \alpha_1(\beta_1 - a_j)}{(\beta_1 - a_j)^2 + b_j^2}, 0, 1 \right) \\
y_j &= \left( 0, \frac{rb_j + \alpha_1(\beta_1 - a_j)}{(\beta_1 - a_j)^2 + b_j^2}, \frac{r(\beta_1 - a_j) - \alpha_1 b_j}{(\beta_1 - a_j)^2 + b_j^2}, -1, 0 \right)
\end{aligned}$$

Тогда  $x_j + iy_j$  – собственный вектор  $J$  для значения  $\lambda_j = a_j + ib_j$ ,  $j=1,2$ ,

причём  $x_j \perp y_j$  и  $\|x_j\| = \|y_j\| = \left( 1 + \frac{\alpha_1^2 + r^2}{(\beta_1 - a_j)^2 + b_j^2} \right)^{1/2} \cdot *$

Заметим, что собственные числа  $\lambda_j$  и базисные векторы  $x_j, y_j$ ,  $j=1,2$  зависят только от  $r, \zeta$  и полной энергии  $C_0$ , через которое выражается равновесная температура  $T^0 = \frac{Z}{1+Z}(\gamma-1)C_0$ .

## 9. Обсуждение результатов

Равновесная температура  $T^0$ , согласно полученным результатам, в размерном виде вычисляется по формуле:

$$T^0 = \frac{T_0^+ + ZT_0^-}{1+Z} + \frac{Z}{1+Z} \cdot \frac{\lambda_{\Sigma} e(\gamma-1)}{k} \left\{ \frac{|u_0|^2}{2} + \frac{|h_0|^2}{8\pi\rho} \left[ 1 + \left( \frac{\kappa c}{\omega_p} \right)^2 \right] \right\} \tag{9.1}$$

и не зависит от замагниченности плазмы  $H_x$  и коэффициентов переноса, но зависит от плотности и длины волны  $\ell = 2\pi/\kappa$ . В МГД-теории  $\kappa c/\omega_p \ll 1$ , в формуле (9.1) член  $(\kappa c/\omega_p)^2$  выпадает и зависимость от длины волны исчезает.

При  $r \ll 1$  декременты затухания  $a_j$  и частоты  $b_j$  имеют асимптотики

$$a \square - \left( \frac{Z(\gamma-1)}{1+Z} \right)^{5/2} |h_0|^5 r^7 \cdot \frac{\lambda_{\Sigma}}{\lambda_{\pm}} \cdot \frac{1}{R_{\pm}} \quad (9.2)$$

$$b \square \frac{1}{2} \left\{ \Lambda \pm \frac{\Lambda R^* - \Lambda R_{\Sigma} - 4R_*}{\lambda_{\Sigma}(\lambda_+^{-1}R_+^{-1} - \lambda_-^{-1}R_-^{-1})} \right\}$$

где  $R^* = (\lambda_-/\lambda_+)R_+^{-1} + (\lambda_+/\lambda_-)R_-^{-1}$ ,  $R_{\Sigma} = R_+^{-1} + R_-^{-1}$ ,  $R_* = (\lambda_-/\lambda_+)^{1/2}R_+^{-1} - (\lambda_+/\lambda_-)^{-1}R_-^{-1}$ , причём верхние и нижние знаки в (9.2) соответствуют друг другу. При  $r \square 1$  (длинноволновое приближение) имеем:

$$a \square - \frac{r^2}{2A_0^{3/2}} [\zeta + R_{\Sigma}A_0^4], \quad A_0 = \frac{Z(\gamma-1)}{Z+1} \left[ \frac{T_0^+}{Z(\gamma-1)} + \frac{T_0^-}{\gamma-1} + |h_0|^2 + |u_0|^2 \right] \quad (9.3)$$

$$b \square \pm r$$

Из (9.2) следует огромный рост,  $\square r^7$ , декрементов затухания для коротких волн, что означает чрезвычайно быстрое затухание альфвеновских волн с длиной, меньшей скиновой  $c/\omega_p$ . Это затухание компенсируется уменьшением начальной амплитуды  $|h_0|$  магнитного поля в альфвеновской волне либо эффективным уменьшением гидродинамических вязкостей электронов и ионов. Длинноволновое приближение (9.3) совпадает с аналогичными результатами из МГД-теории (см. ниже) и вычислениями на основе линейной теории.

В МГД система уравнений для амплитуд запишется в виде:

$$\frac{du}{dt} = irh + \beta_1 u, \quad \frac{dh}{dt} = r \left[ iu - \frac{r\zeta}{T_-^{3/2}} h \right] \quad (9.4)$$

$$\frac{dT_-}{dt} = 2(\gamma-1) \left\{ \frac{m_+}{m_{\Sigma}} r^2 \zeta \frac{|h|^2}{T_-^{3/2}} - \eta \frac{T_- - T_+}{T_-^{3/2}} + \alpha_3 |u|^2 \right\}, \quad T_+ = Z(\gamma-1) \left\{ C_0 - \frac{T_-}{\gamma-1} - |h|^2 - |u|^2 \right\}$$

где  $\beta_1$ ,  $\alpha_3$  вычисляются по (7.2).

Система (9.4) имеет единственную особую точку, вычисляемую по формуле из §7, а характеристическое уравнение для линеаризованной в особой точке системы имеет вид:

$$(\lambda + \lambda_0) \left[ r^2 + (\lambda - \beta_1) \left( \lambda + \frac{r^2 \zeta}{(T^0)^{3/2}} \right) \right]^2 = 0, \quad \lambda_0 = \frac{2(\gamma-1)\eta(Z+1)}{(T^0)^{3/2}}$$

Значит собственные числа имеют вид:  $\lambda = -\lambda_0$  и двукратные

$$\lambda^{\pm} = -\frac{r^2}{2} \left\{ (T^0)^{5/2} R_{\Sigma} + \frac{\zeta}{(T^0)^{3/2}} \pm \left\{ \left[ (T^0)^{5/2} R_{\Sigma} - \frac{\zeta}{(T^0)^{3/2}} \right]^2 - \frac{4}{r^2} \right\}^{1/2} \right\} \quad (9.5)$$

При  $r < r_* = 2 \left| (T^0)^{5/2} (R_+^{-1} + R_-^{-1}) - \zeta (T^0)^{-3/2} \right|^{-1}$  у собственных чисел  $\lambda^{\pm}$  есть мнимая часть, при  $r > r_*$  – собственные числа вещественные и различные.

При  $r \square 1$  формула (9.5) переходит в (9.3). Декременты затухания и частоты изображены на графике

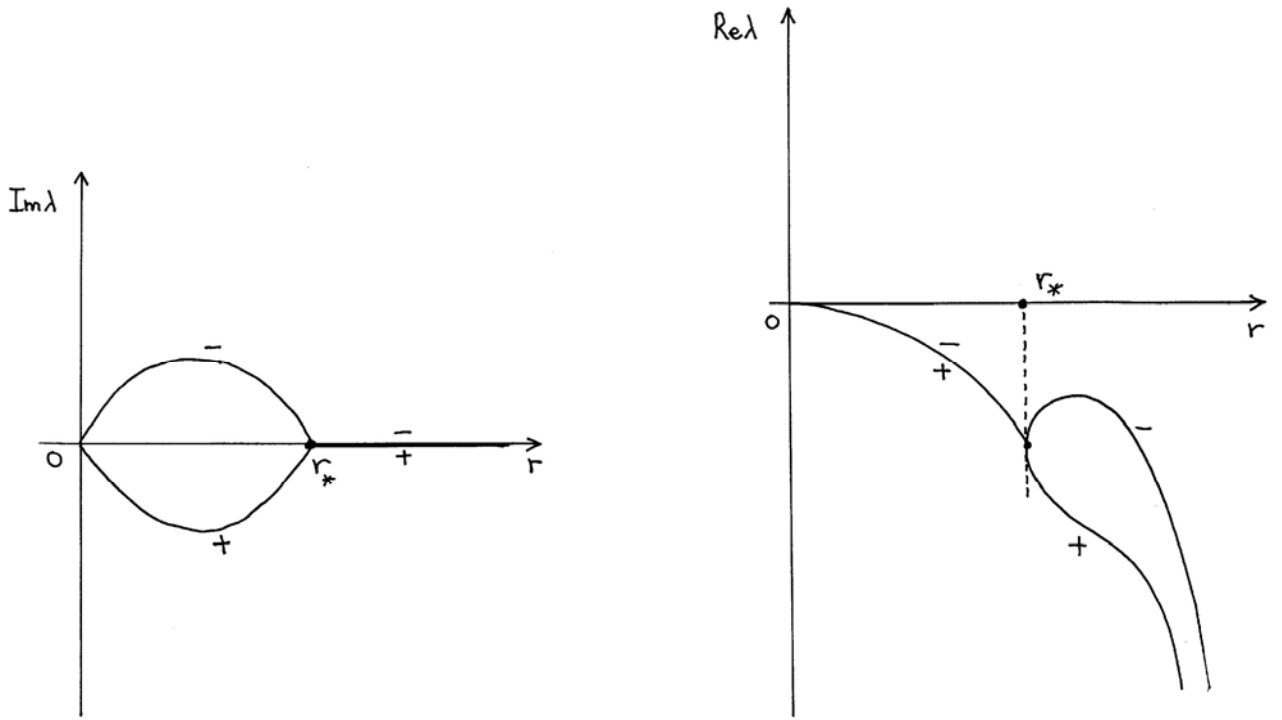


Рис. 2

Как видно, для конечных  $r$  результаты МГД-теории и двухжидкостной плазмодинамики сильно разнятся. Например, декременты затухания для коротких волн  $r \ll 1$  в МГД-теории  $\propto r^2$ , что расходится с формулой (9.2).

Принято считать, что гидродинамические вязкости электронов и ионов, вследствие их малости, приводят лишь к незначительному размыванию, сглаживанию параметров плазмы, которое в ряде ситуаций, например при наличии ударных волн, даже полезно. Ошибочность такого взгляда продемонстрируем на решении задачи о затухании альфвеновских волн без учёта гидродинамических вязкостей электронов и ионов. Тогда в характеристическом уравнении (7.7) надо положить  $\alpha_1 = 0$ ,  $\beta_1 = 0$ ,  $\beta_0 = -\zeta r^2 (T^0)^{-3/2}$ , и мы получим:

$$\lambda^2(1+r^2) + \lambda[\zeta(T^0)^{-3/2} \pm i\Lambda]r^2 + r^2 = 0$$

Откуда для верхнего знака:

$$\lambda = \frac{1}{2(1+r^2)} \left\{ -r^2[\zeta(T^0)^{-3/2} + i\Lambda] \pm r[(\zeta(T^0)^{-3/2} + i\Lambda)^2 r^2 - 4(1+r^2)]^{1/2} \right\}$$

Тогда в коротковолновом,  $r \ll 1$  приближении получим для декрементов затухания и частот:

$$a \approx -\left(\frac{Z(\gamma-1)}{1+Z}\right)^{-3/2} |h_0|^{-3} r^3, \quad b \approx \pm(\lambda_{\mp}/\lambda_{\pm})^{1/2} \quad (9.6)$$

В длинноволновом приближении получим старые волны (9.3), где надо положить  $R_2 = 0$ . Из сравнения (9.6) и (9.2) следует, что затухание коротких волн без учёта гидродинамических вязкостей электронов и ионов кардинально изменилось: во-первых, оно происходит значительно медленнее,  $\propto r^3$  и, во-вторых, при уменьшении начальной амплитуды магнитного поля в

альфвеновской волне оно увеличивается, а не уменьшается, как это было с учётом гидродинамических вязкостей.

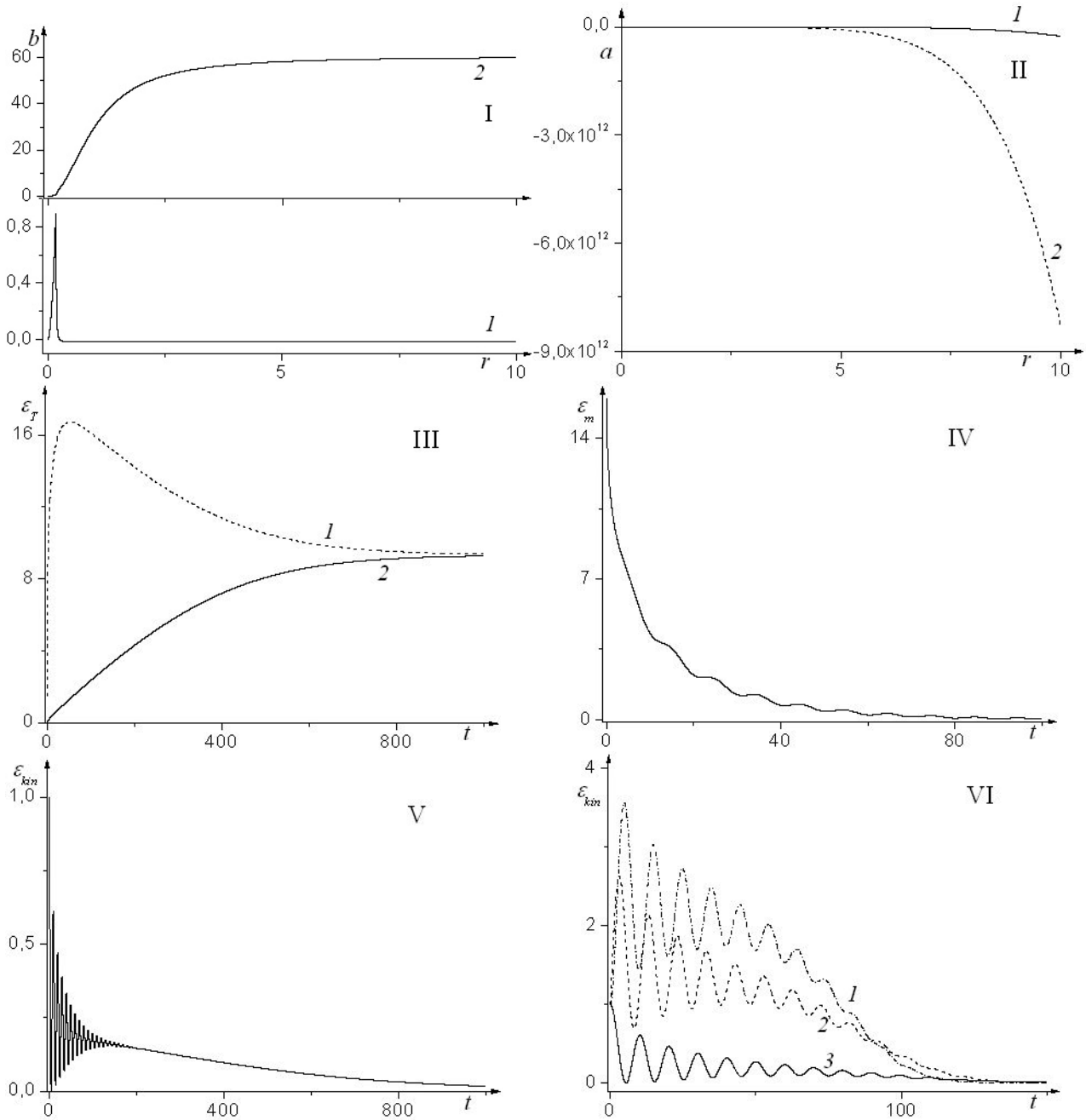


Рис. 3

В общем случае графики зависимости декрементов затухания  $a_j$  и частот  $b_j$  от  $r$  изображены на Рис. 3 I, II (для  $\zeta = 1/10$ ,  $T_+^0 = T_-^0 = 1$ ,  $h_0 = 4$ ,  $u_0 = 1$ ). Декременты затухания по модулю монотонно растут, а частоты  $b_j$  имеют разные знаки и порядки. При малых  $\zeta$  профили частот имеют локальные экстремумы, с увеличением  $\zeta$  они исчезают и профили частот тоже становятся монотонными. На Рис. 3 III-V приведены зависимости от времени

тепловых энергий  $\varepsilon_+ - 2$ ,  $\varepsilon_- - 1$  ионов и электронов, магнитной  $\varepsilon_m$  и кинетической  $\varepsilon_{kin}$  энергии для варианта  $\zeta = 100$ ,  $T_+ = 0.01$ ,  $T_- = 1$ ,  $h_0 = 4$ ,  $u_0 = 1$ . На Рис. 3 VI показана зависимость эволюции кинетической энергии  $\varepsilon_{kin}(t)$  от сдвига фаз в начальных распределениях магнитного поля и скорости (3 – сдвиг фаз  $u_0$  и  $h_0$  равен 0, 2 –  $\pi/2$ , 3 –  $\pi$ ).

### Литература

1. Ахиезер А.И., Ахиезер И.А., Половин Р.В. и др. Электродинамика плазмы. М.: Наука, 1974. 719 с.
2. Гавриков М.Б. Основные уравнения двухжидкостной магнитной гидродинамики. Часть I. Препринт №59. М.: ИПМ им. М.В. Келдыша РАН. 2006. 28 с.
3. Брагинский С.И. Явления переноса в плазме // Вопросы теории плазмы / Под ред. М.А. Леонтовича. М.: Госатомиздат, 1963. Вып. 1. С. 183-272
4. Спитцер Л. Физика полностью ионизованного газа. М.: Мир, 1965. 212с.
5. Чэпмен С. Каулинг Т. Математическая теория неоднородных газов. М.: ИЛ, 1960
6. Имшенник В.С. // Астрономический журнал. 1961. **38**. С. 652
7. Ландау Л.Д. // ЖЭТФ. 1937. **7**. С. 203
8. Боброва Н.А., Сасоров П.В. // Физика плазмы. 1993. Т. 19. С. 789
9. Чу Г., Гольдбергер М., Лоу Ф. / В сб. Проблемы современной физики. М.: ИЛ, 1957. №7. С. 139
10. Хартман Ф. Обыкновенные дифференциальные уравнения. М.: Мир, 1970. 720 с.
11. Имшенник В.С., Боброва Н.А. Динамика столкновительной плазмы. М.: Энергоатомиздат, 1997. 319 с.
12. Брушлинский К.В., Морозов А.И. Расчёт двумерных течений плазмы в каналах // Вопросы теории плазмы. Вып. 8. М.: Атомиздат, 1974. С. 88-163